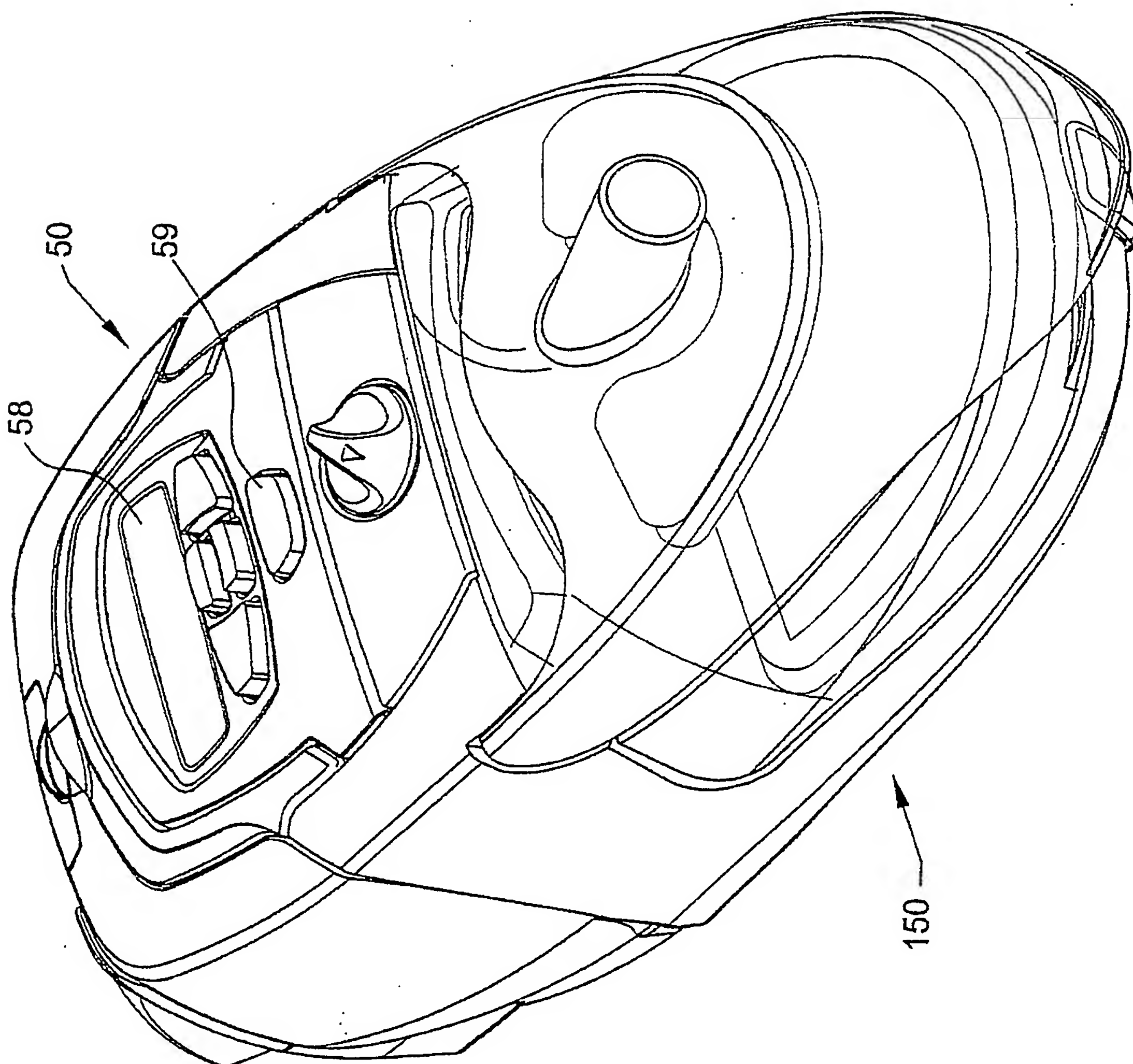


1/31

Fig. 1



2/31

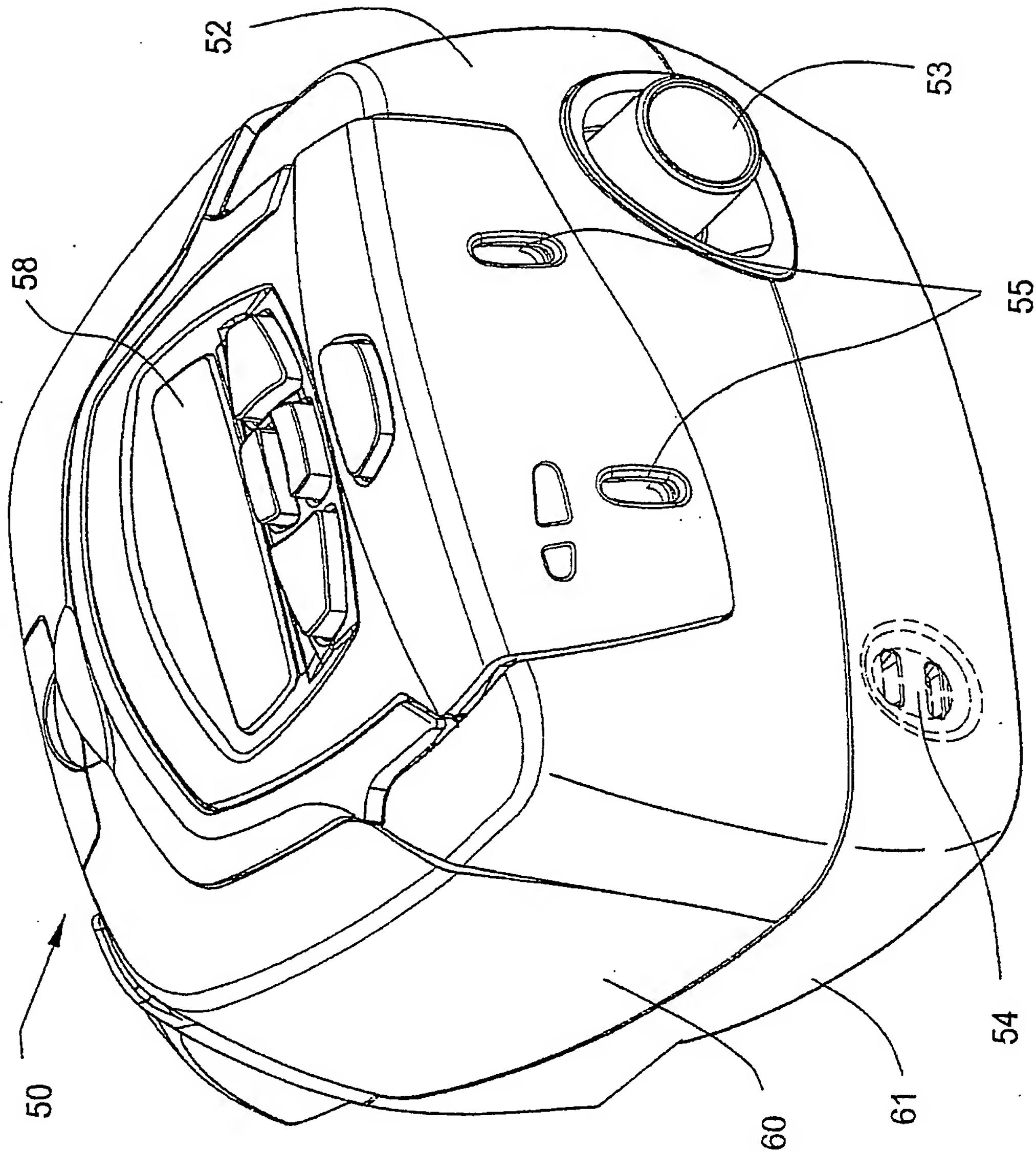
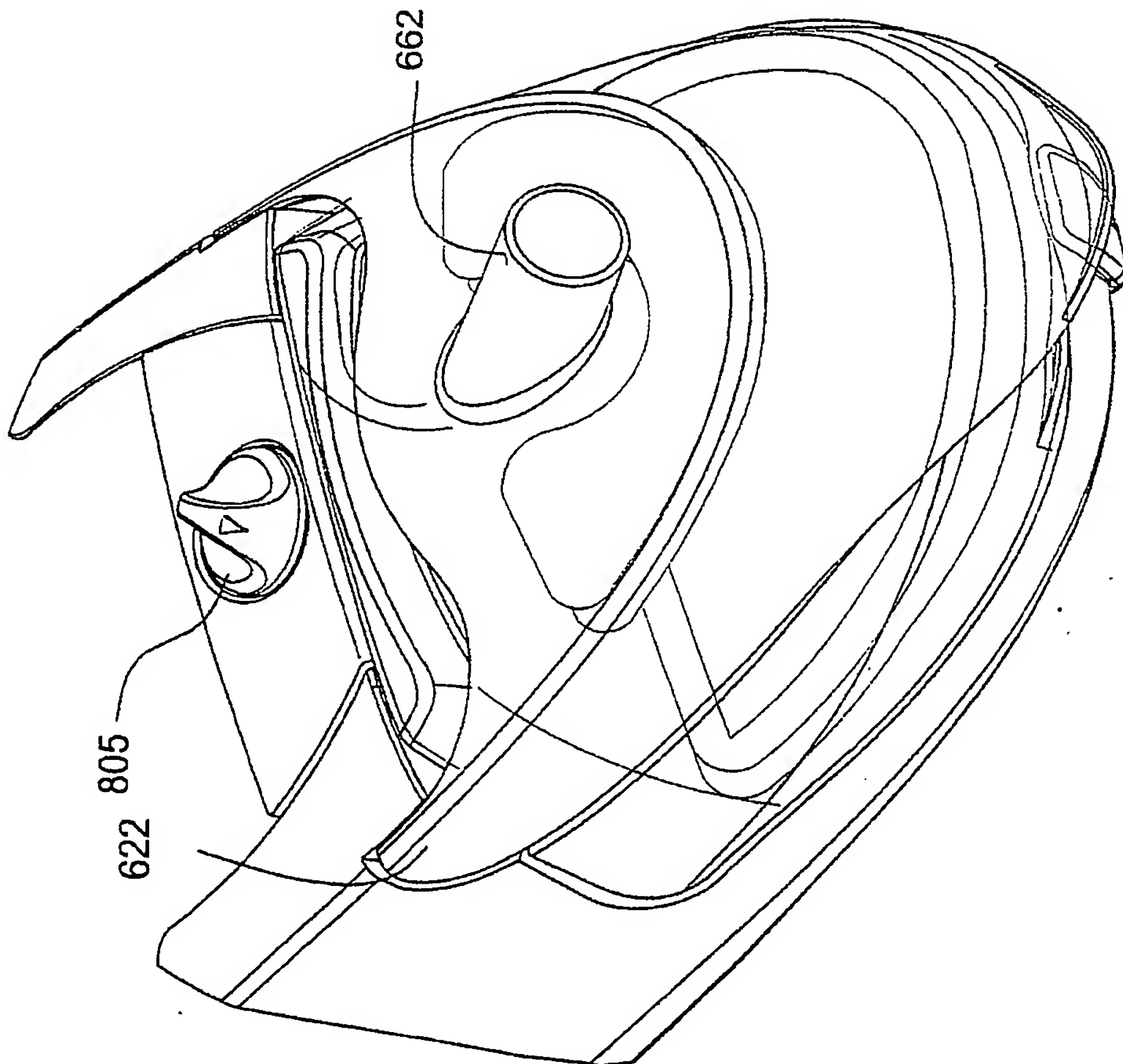


Fig. 2

3/31

Fig. 3



4/31

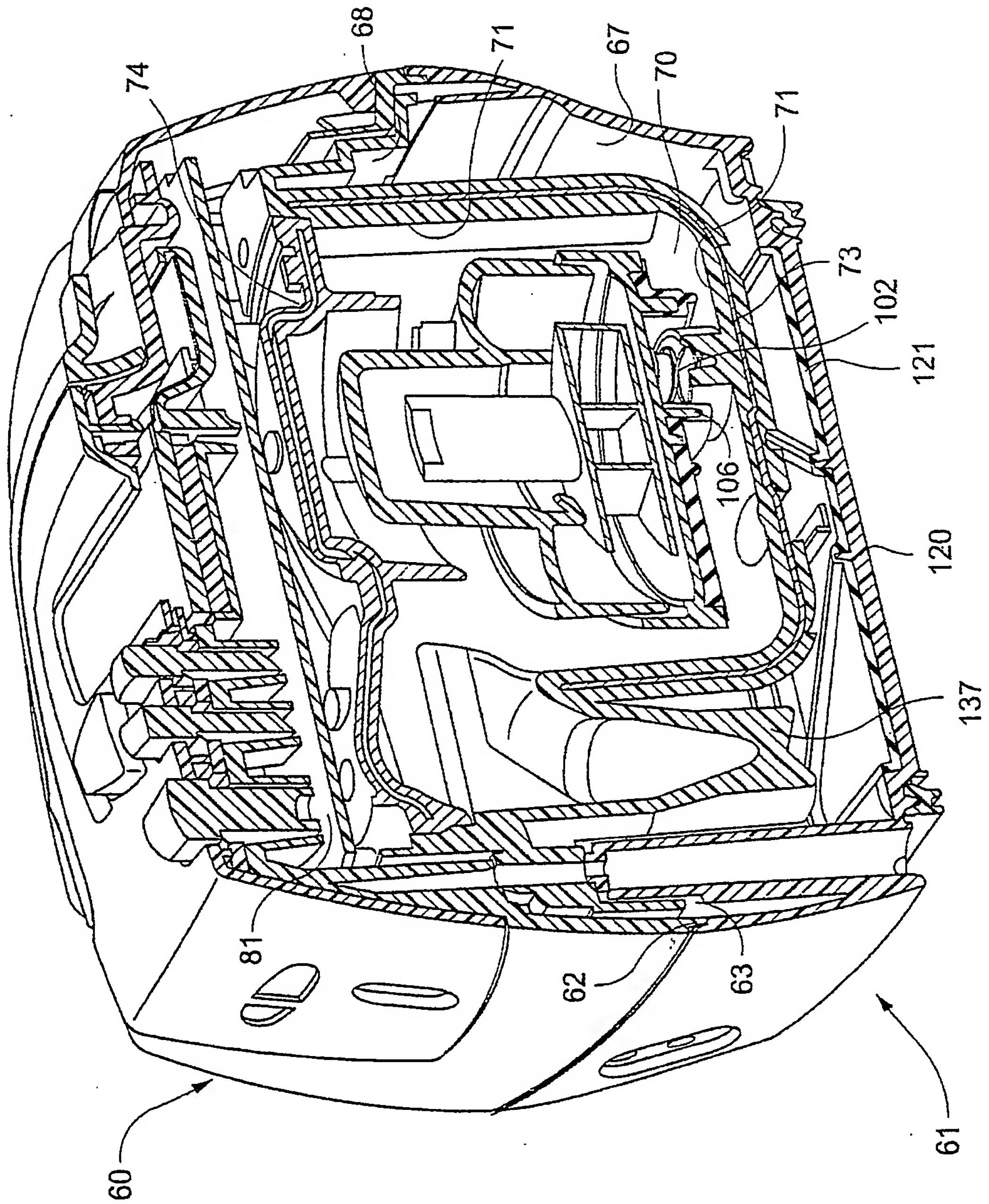


Fig. 4

5/31

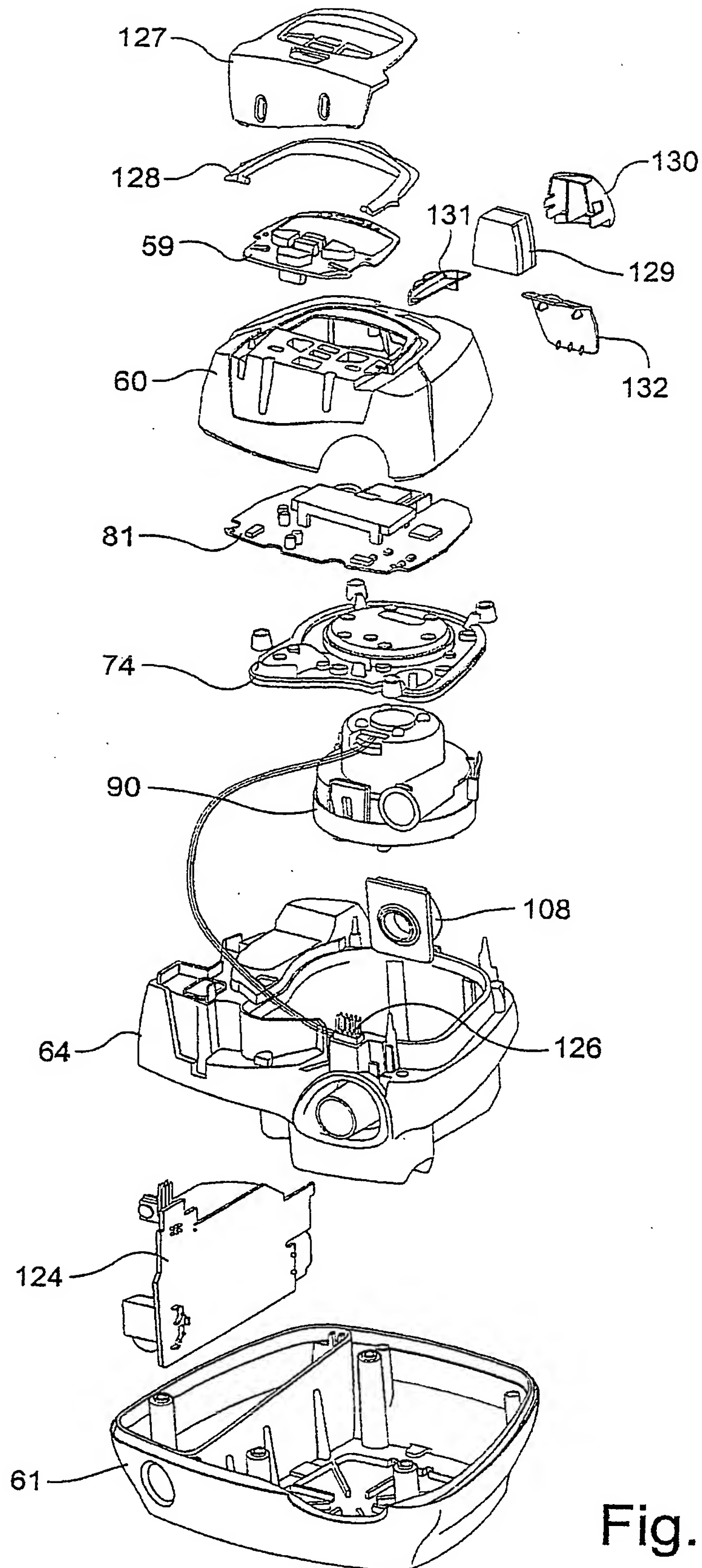


Fig. 5

6/31

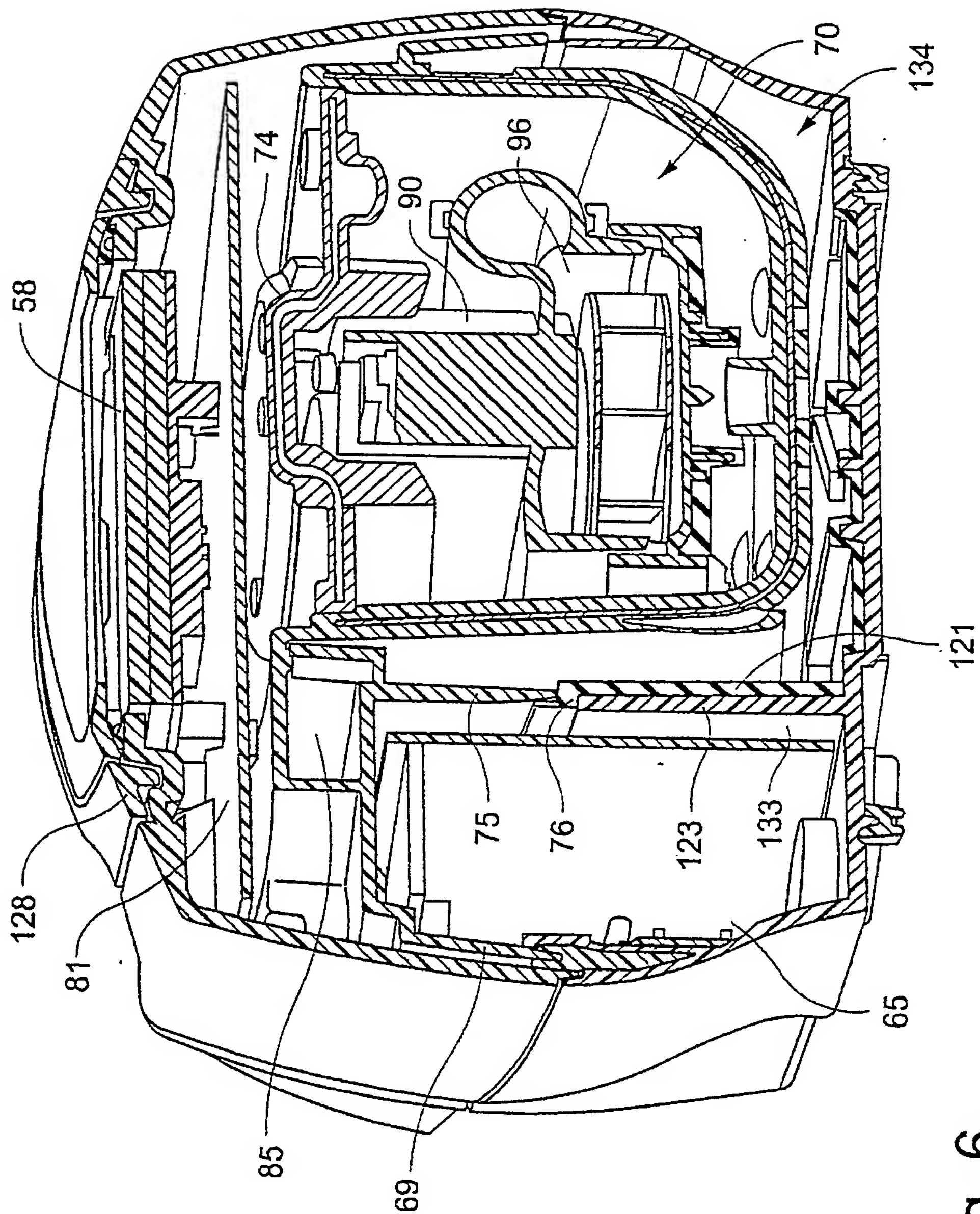


Fig. 6

7/31

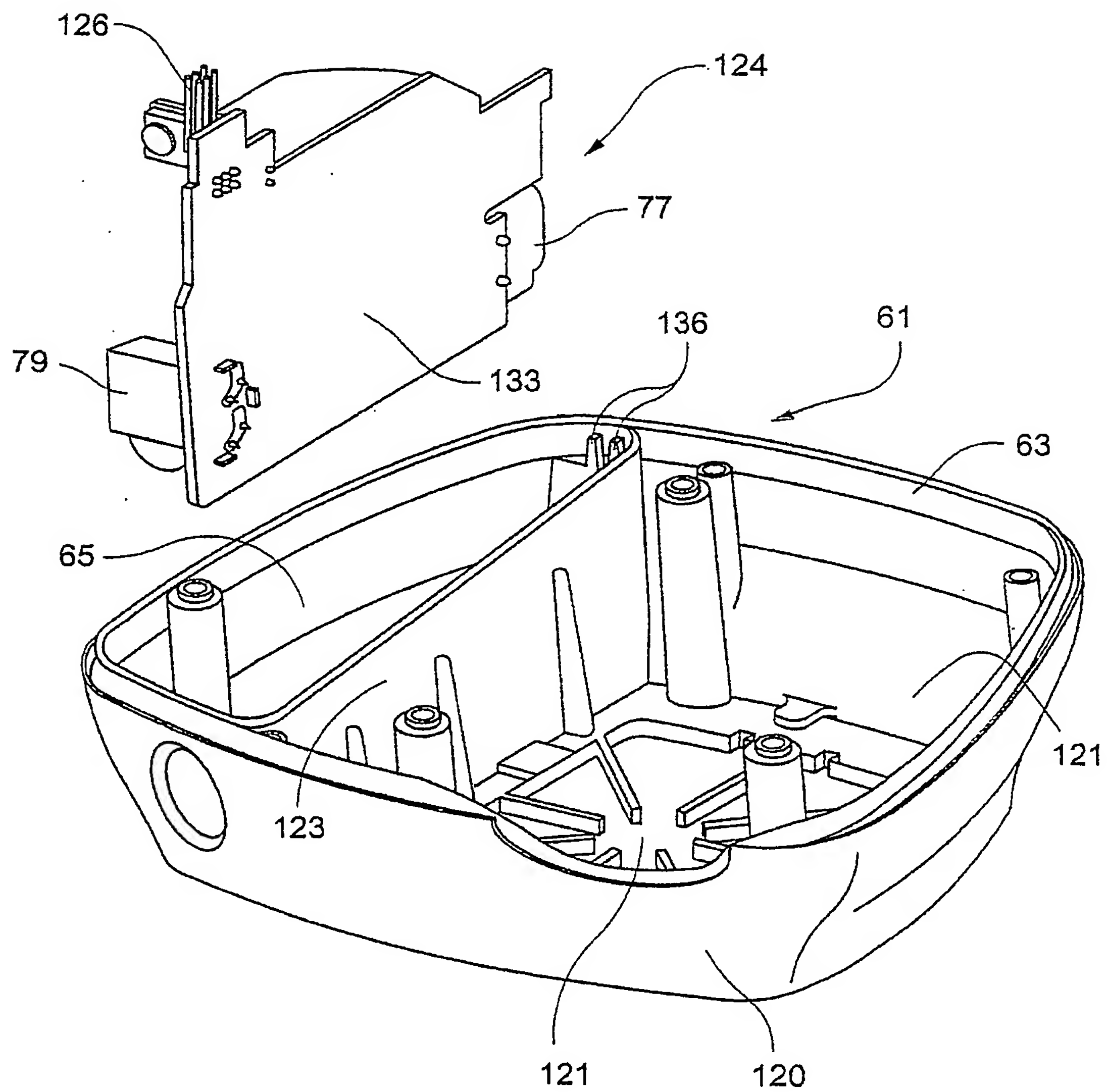


Fig. 7



8/31

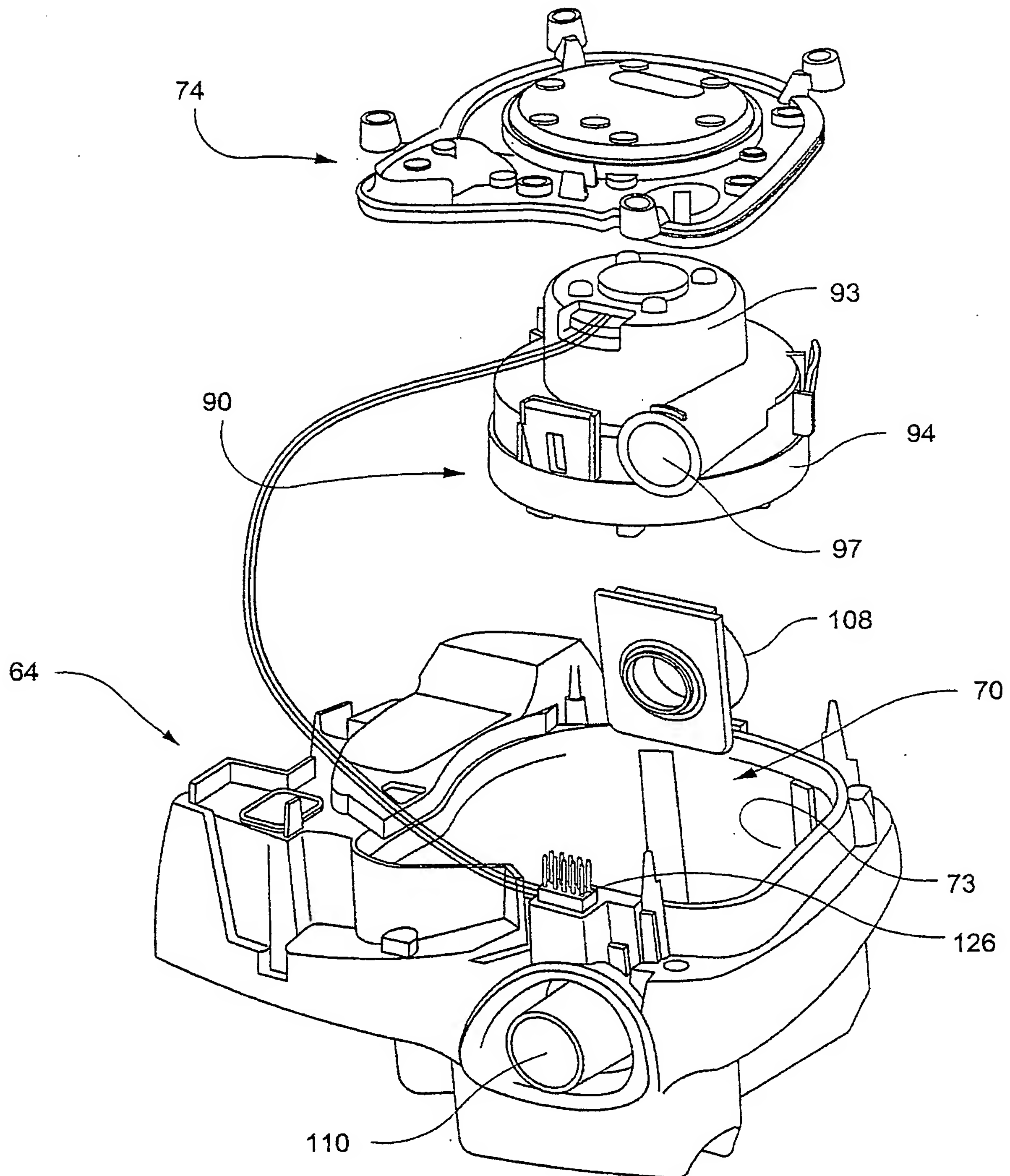


Fig. 8



9/31

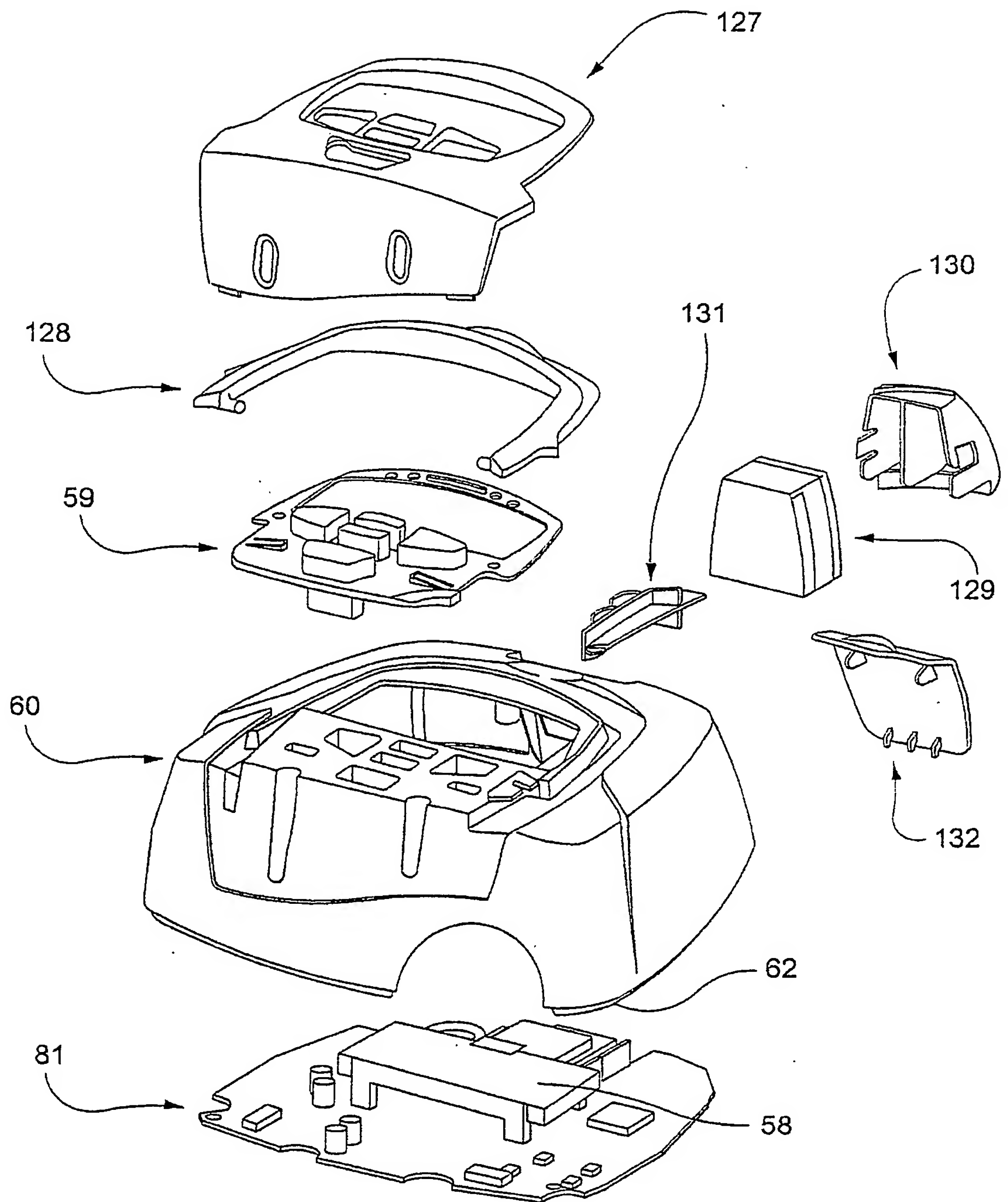


Fig. 9

10/31

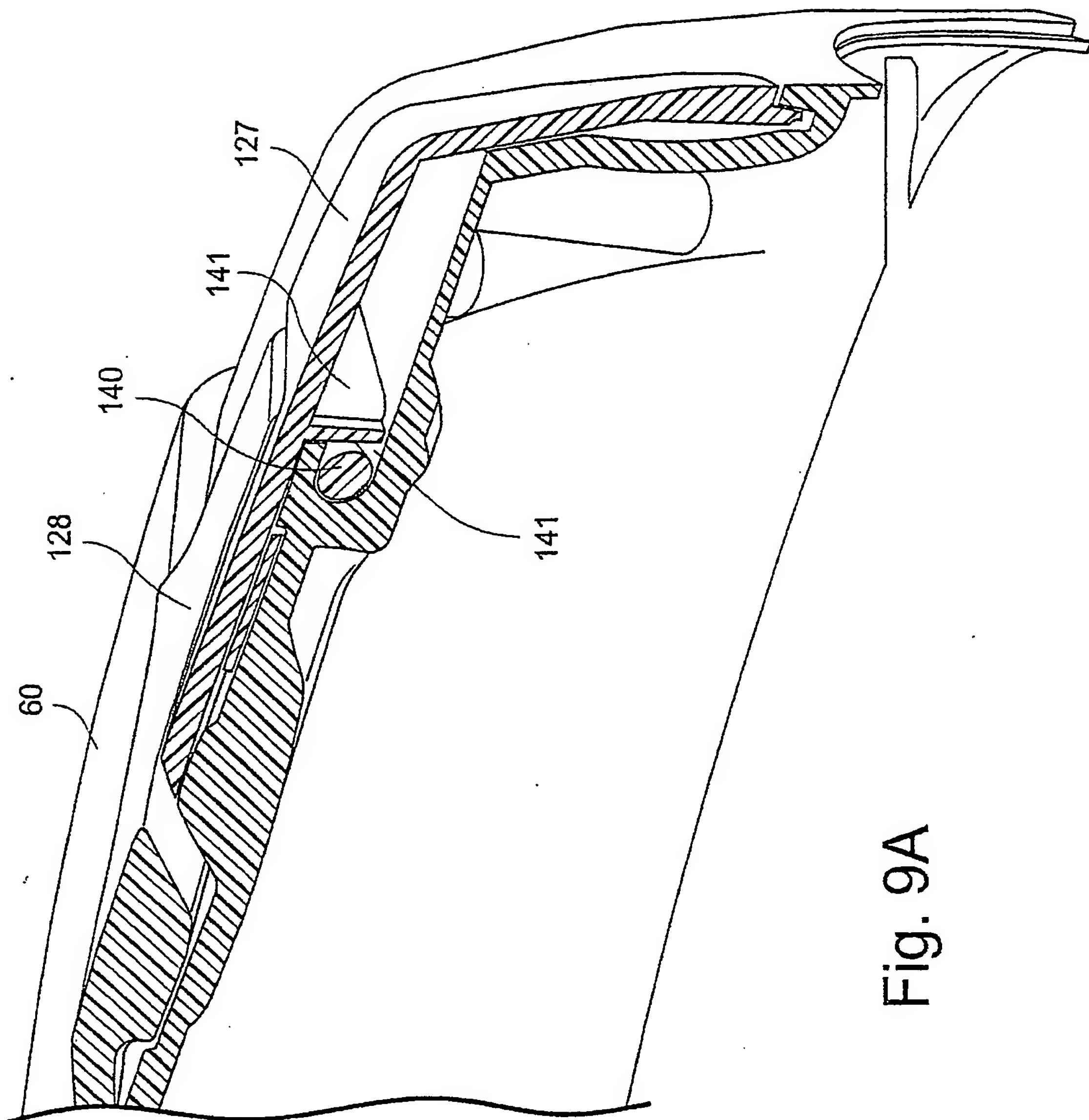


Fig. 9A

11/31

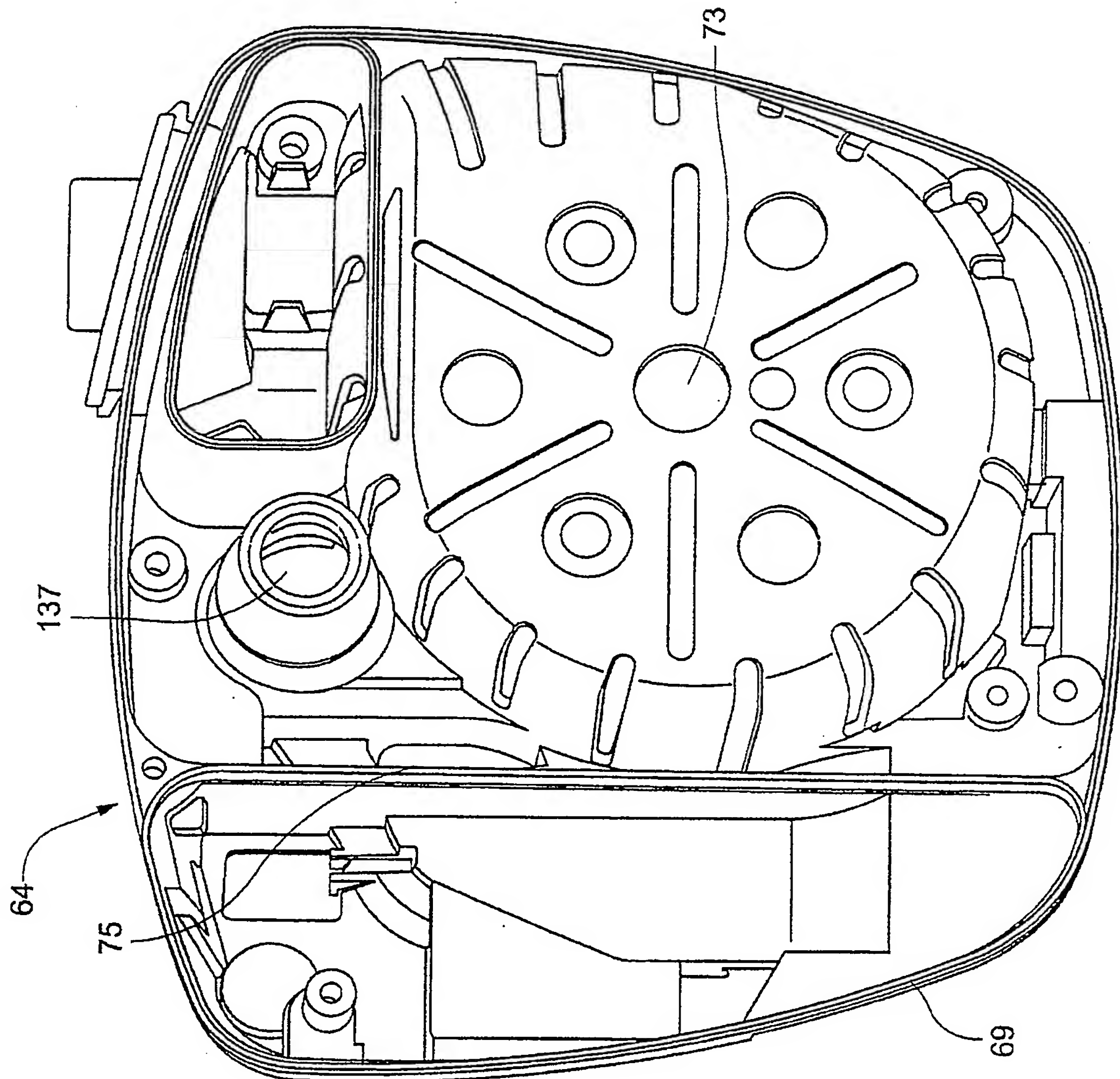


Fig. 10

12/31

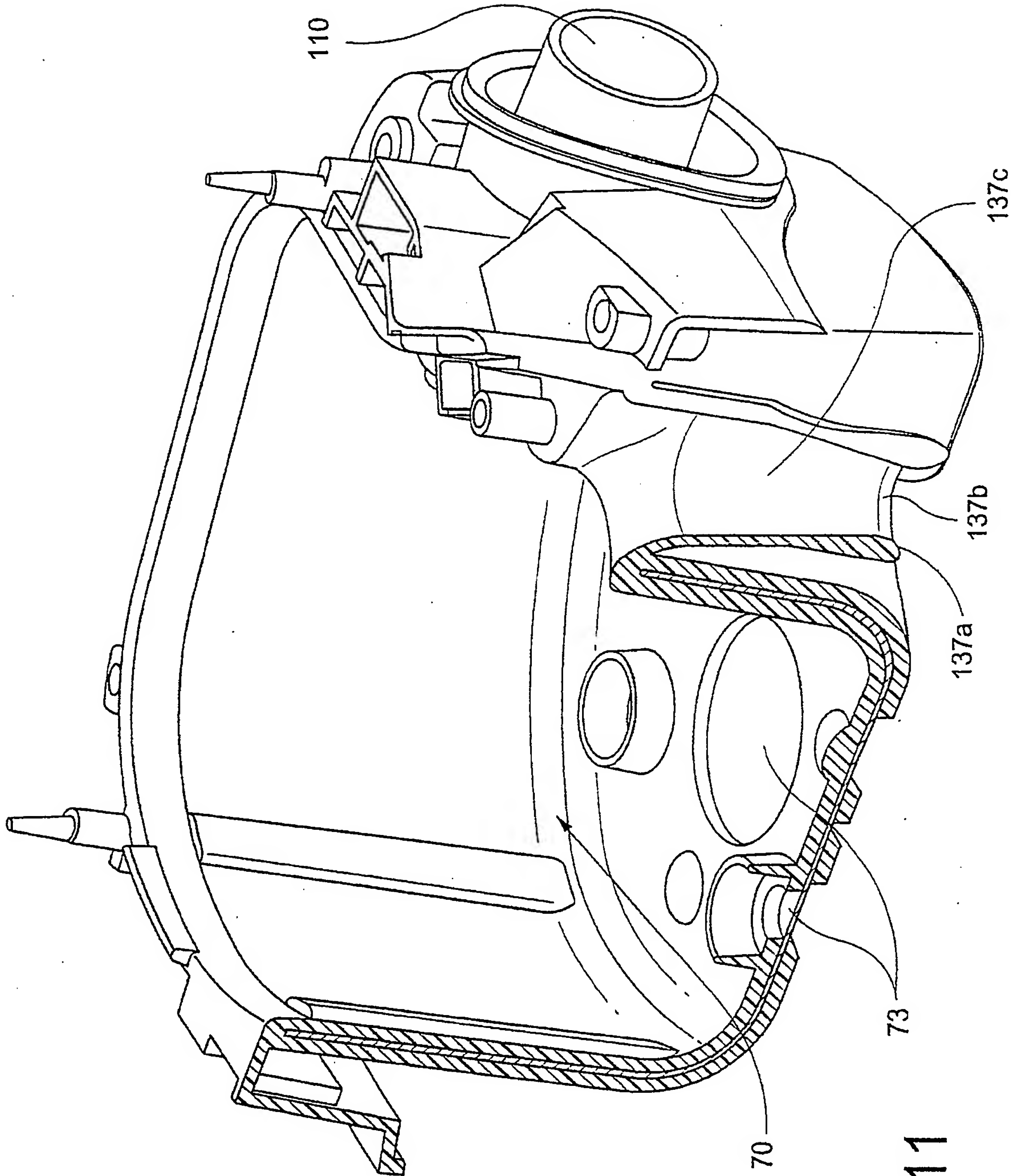


Fig. 11

13/31

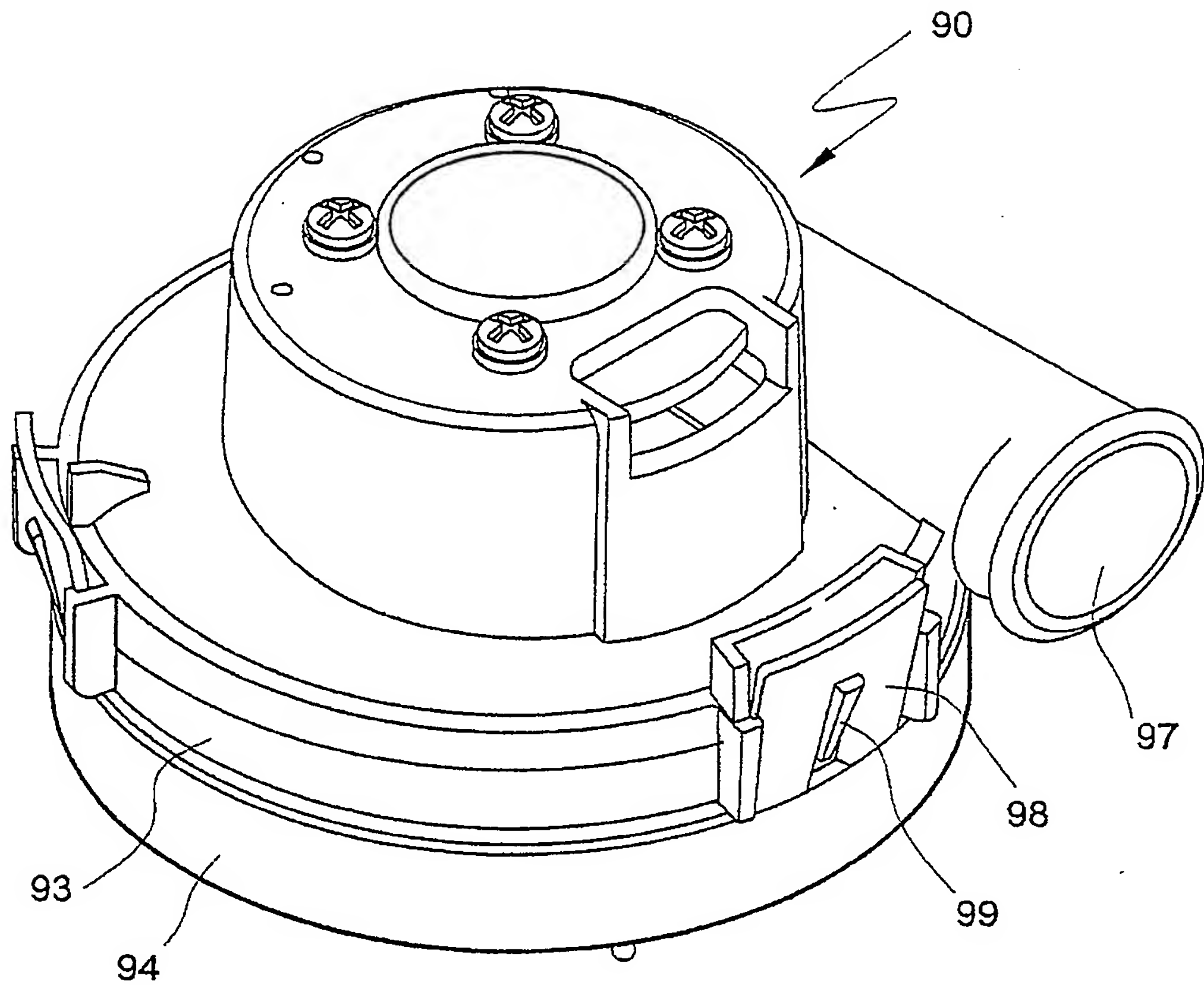
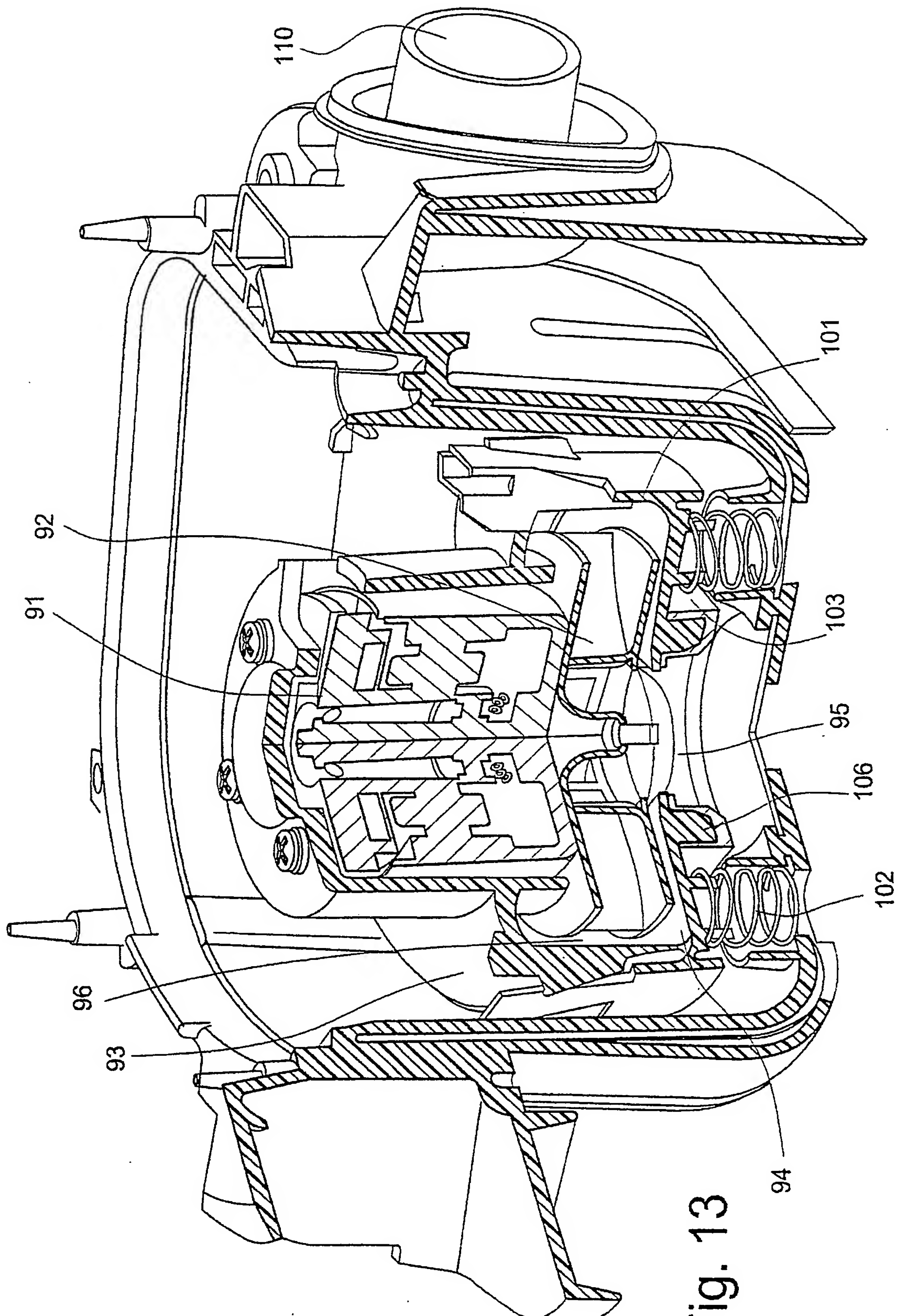


Fig. 12

14/31



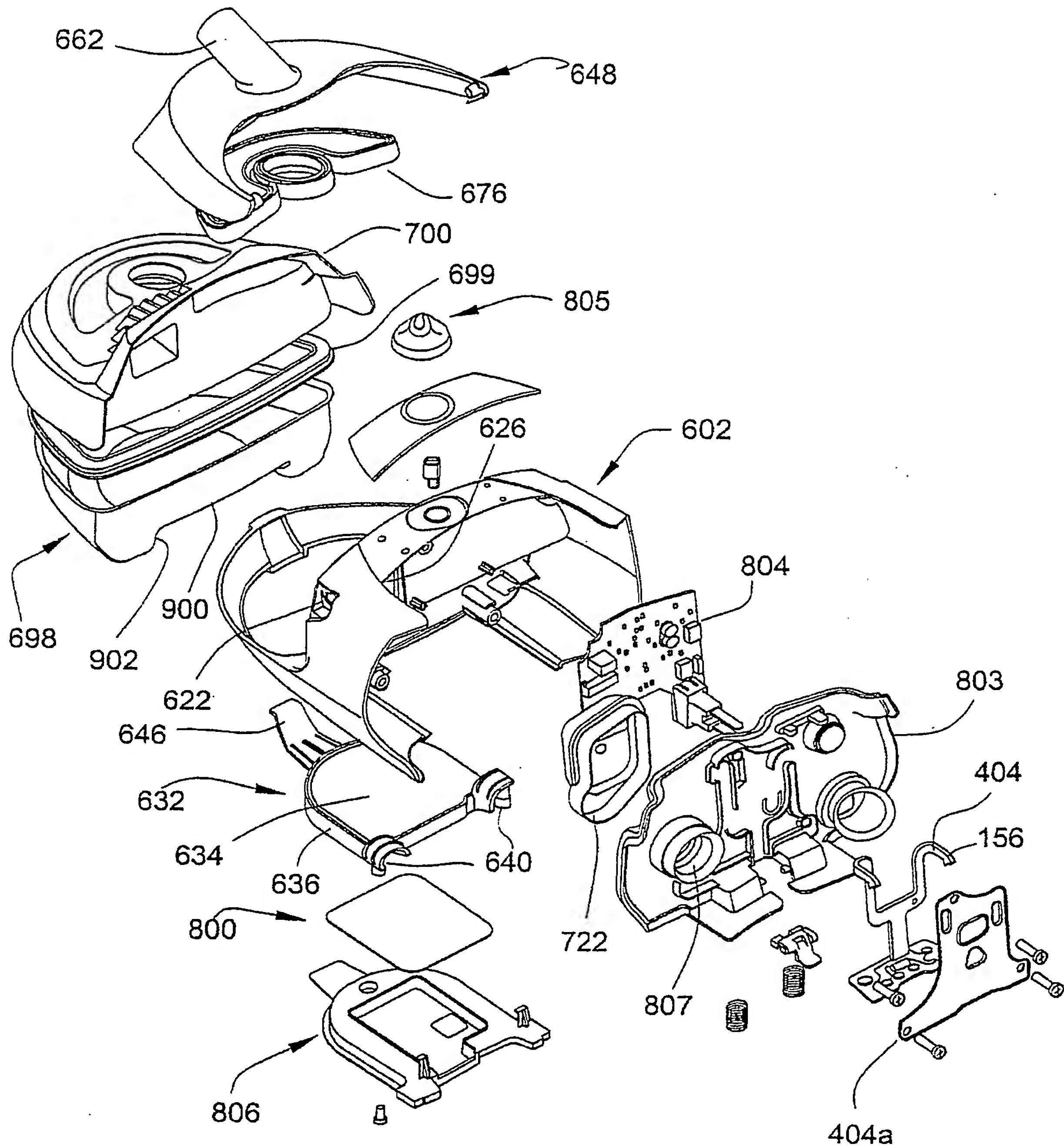


Fig. 14



16/31

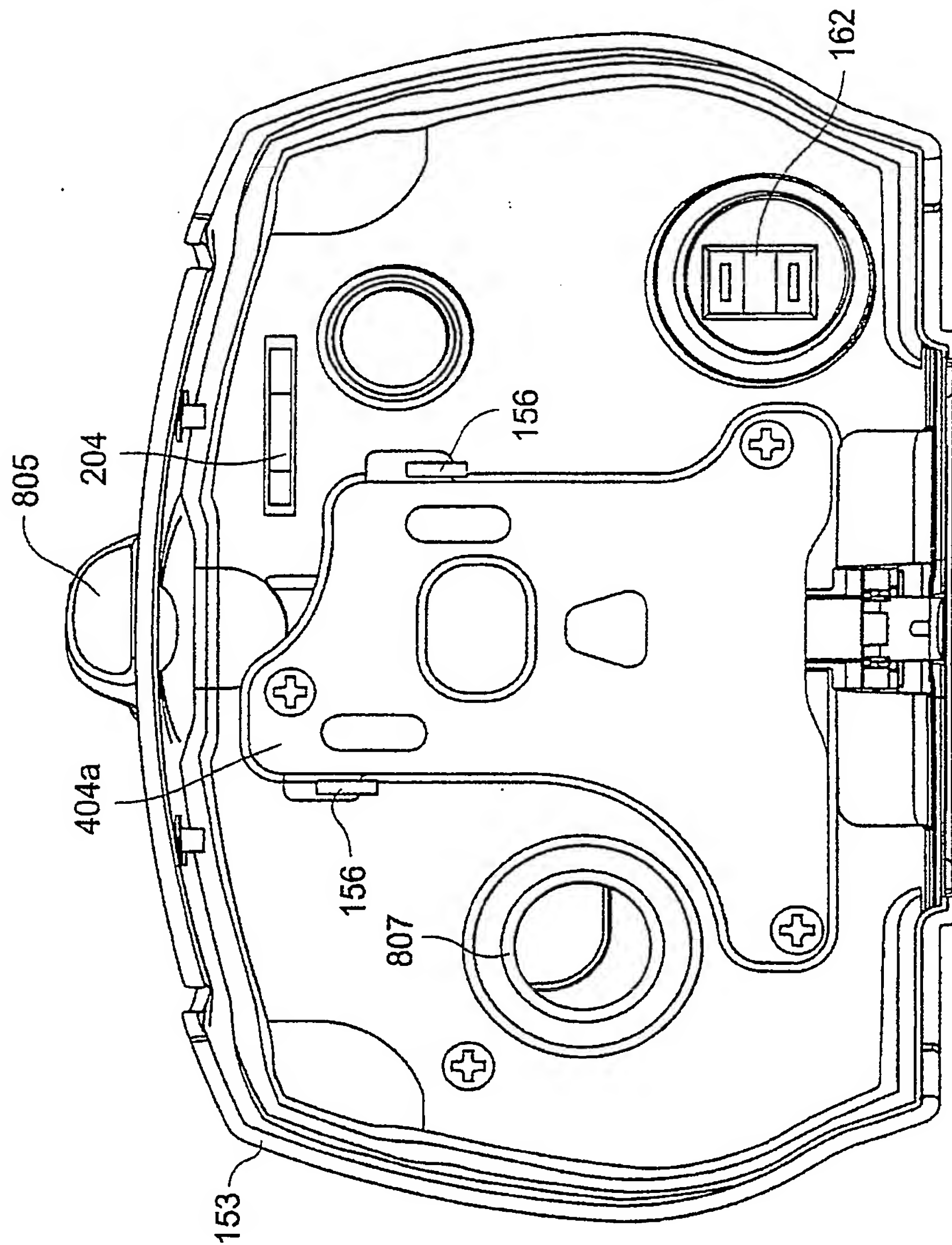


Fig. 15

17/31

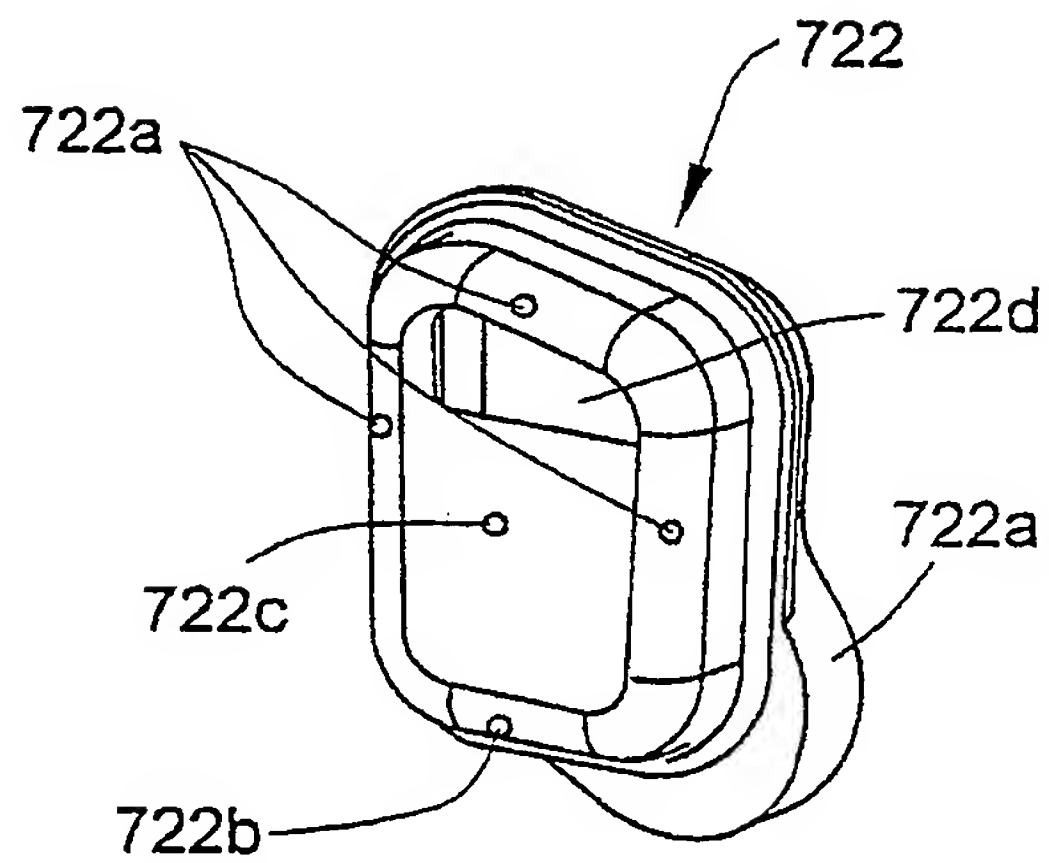


Fig. 16

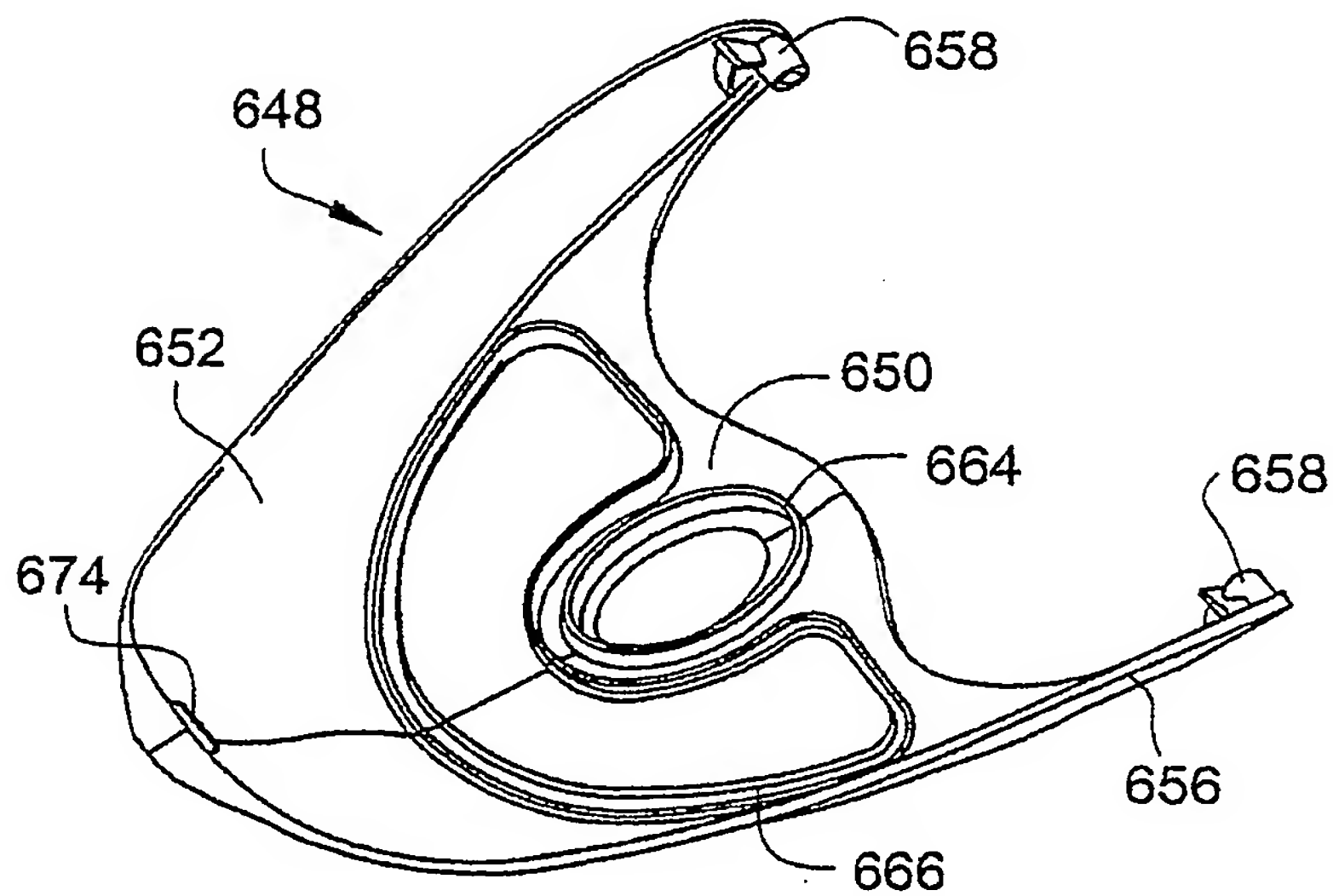


Fig. 17

18/31

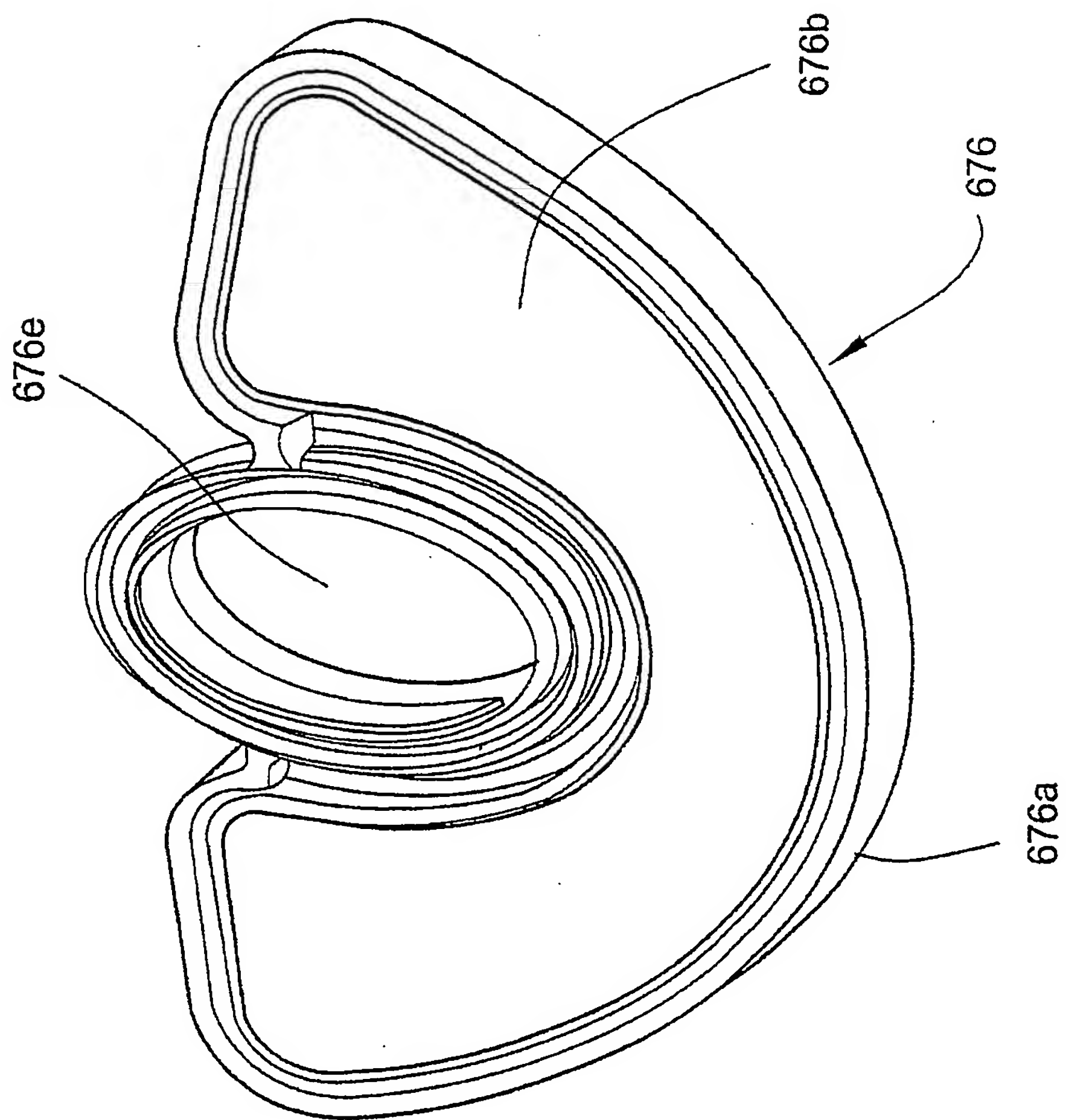


Fig. 18

19/31

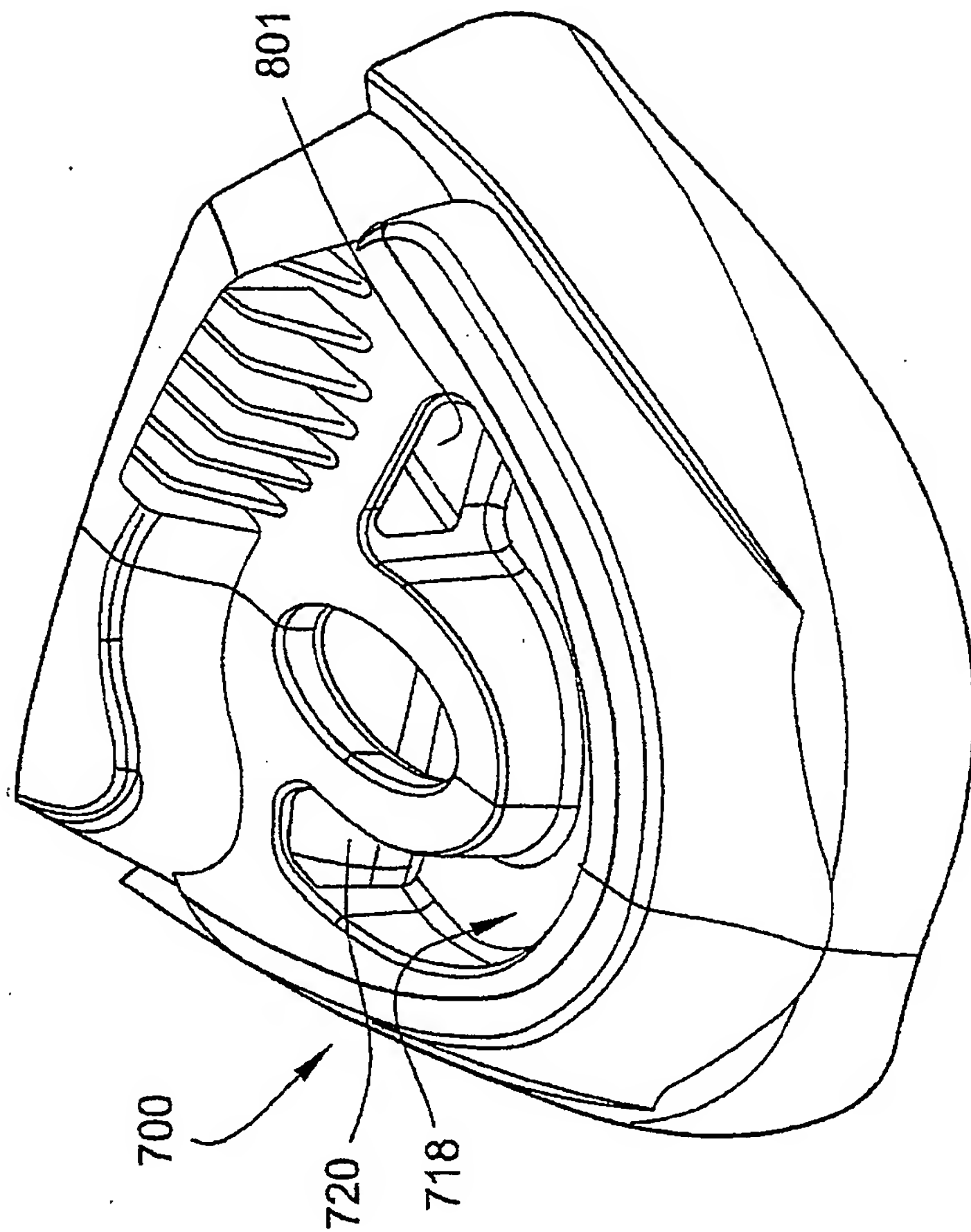


Fig. 20

20/31

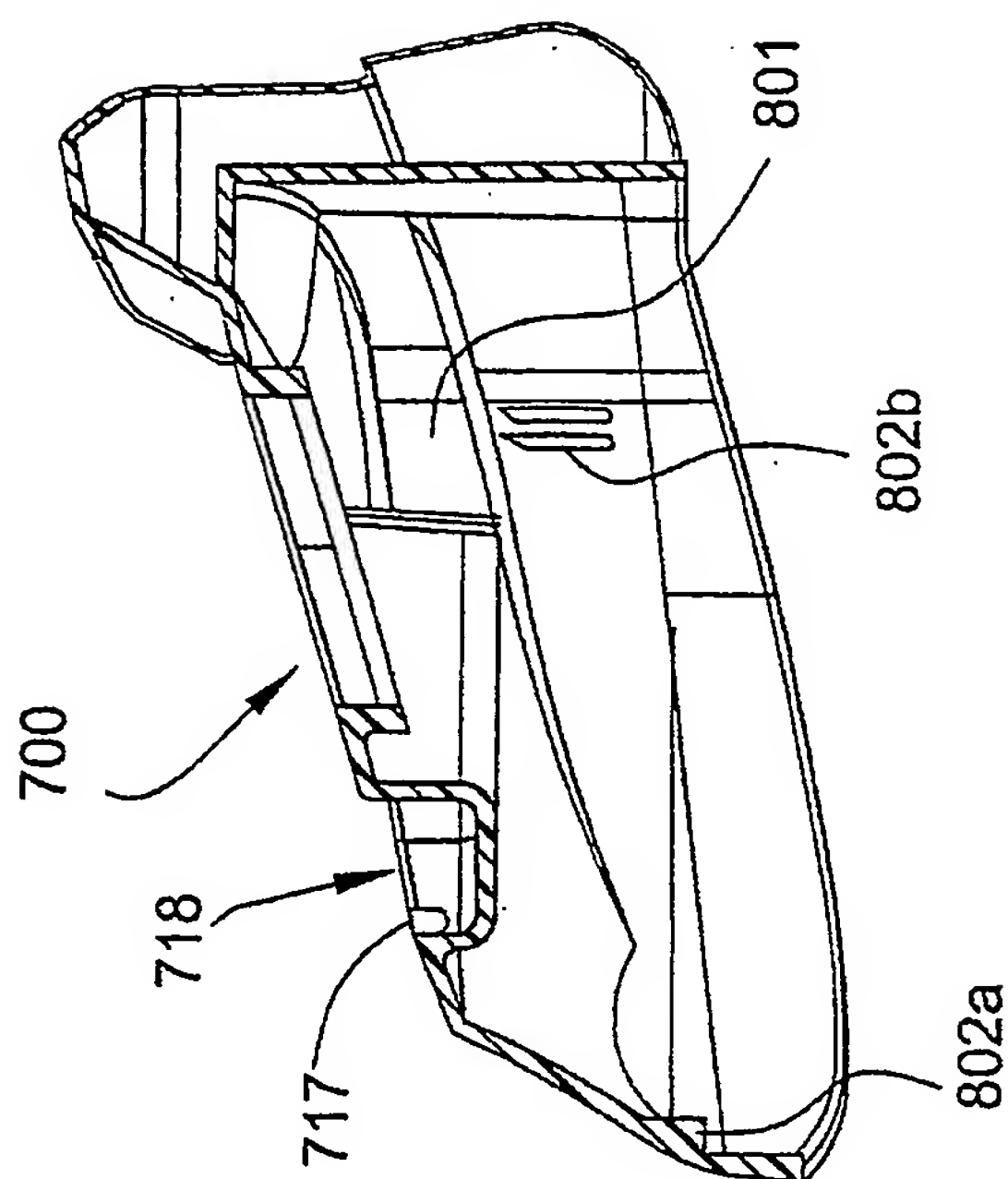


Fig. 21

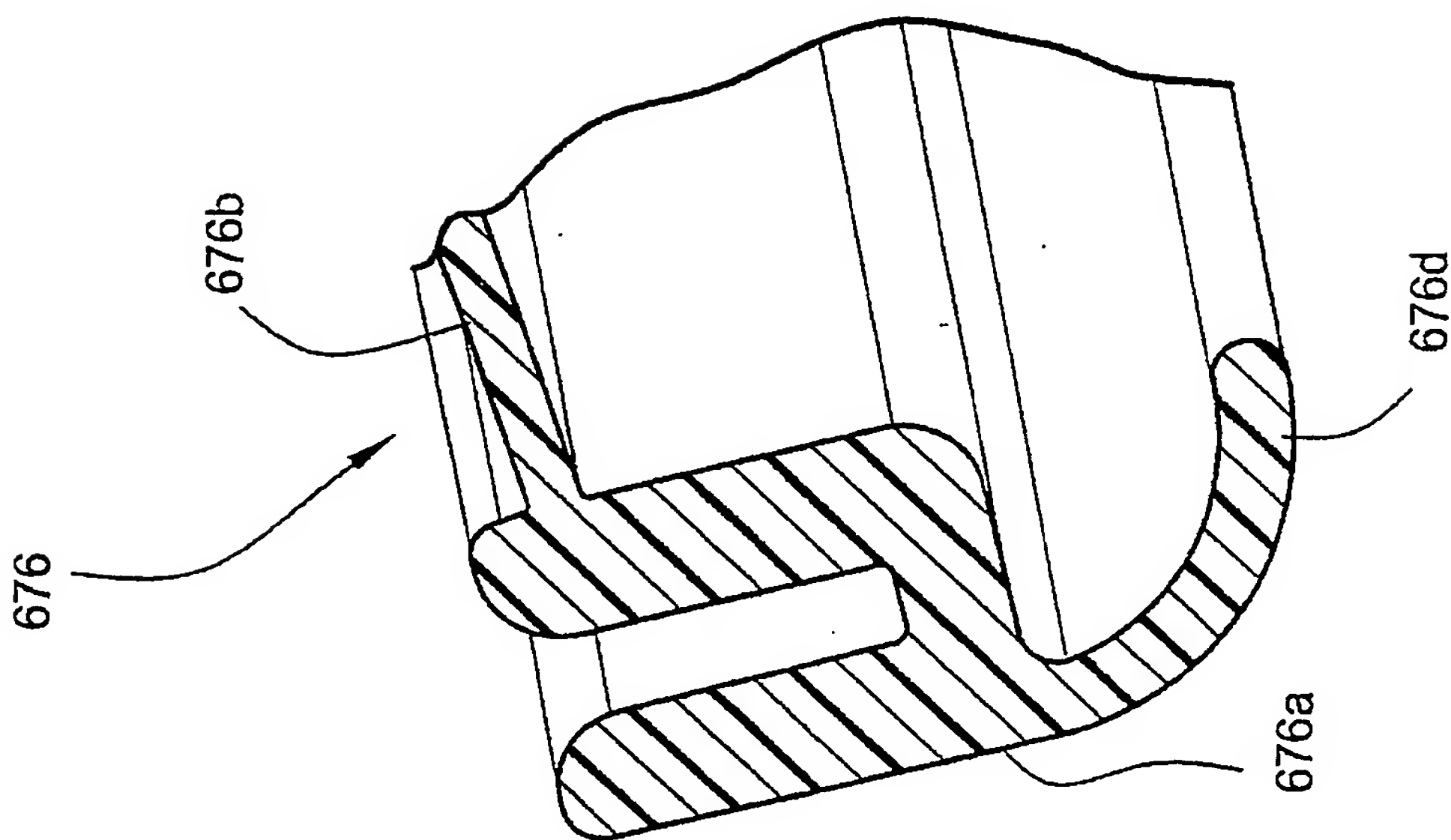


Fig. 19

21/31

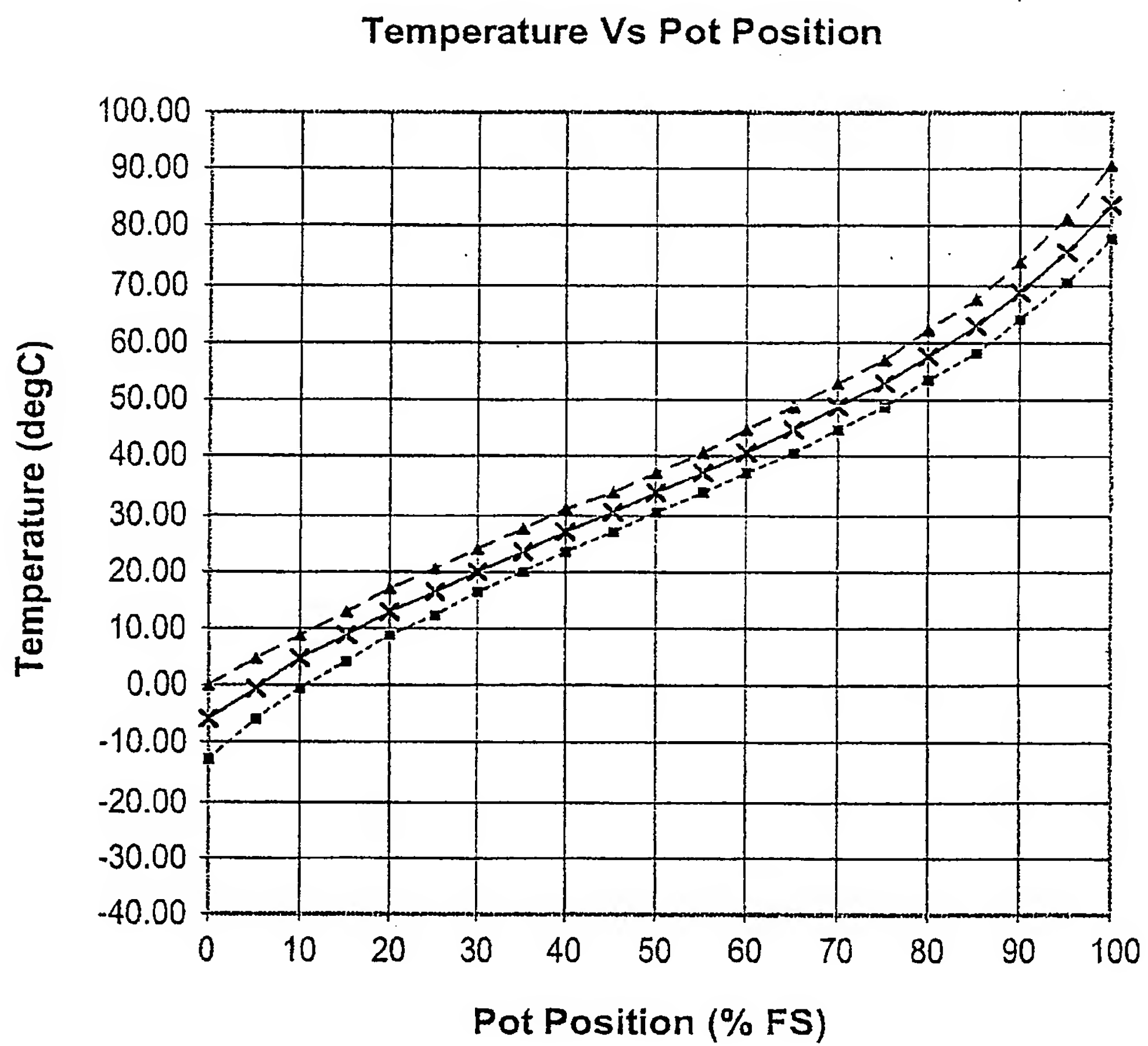


Fig. 22

22/31

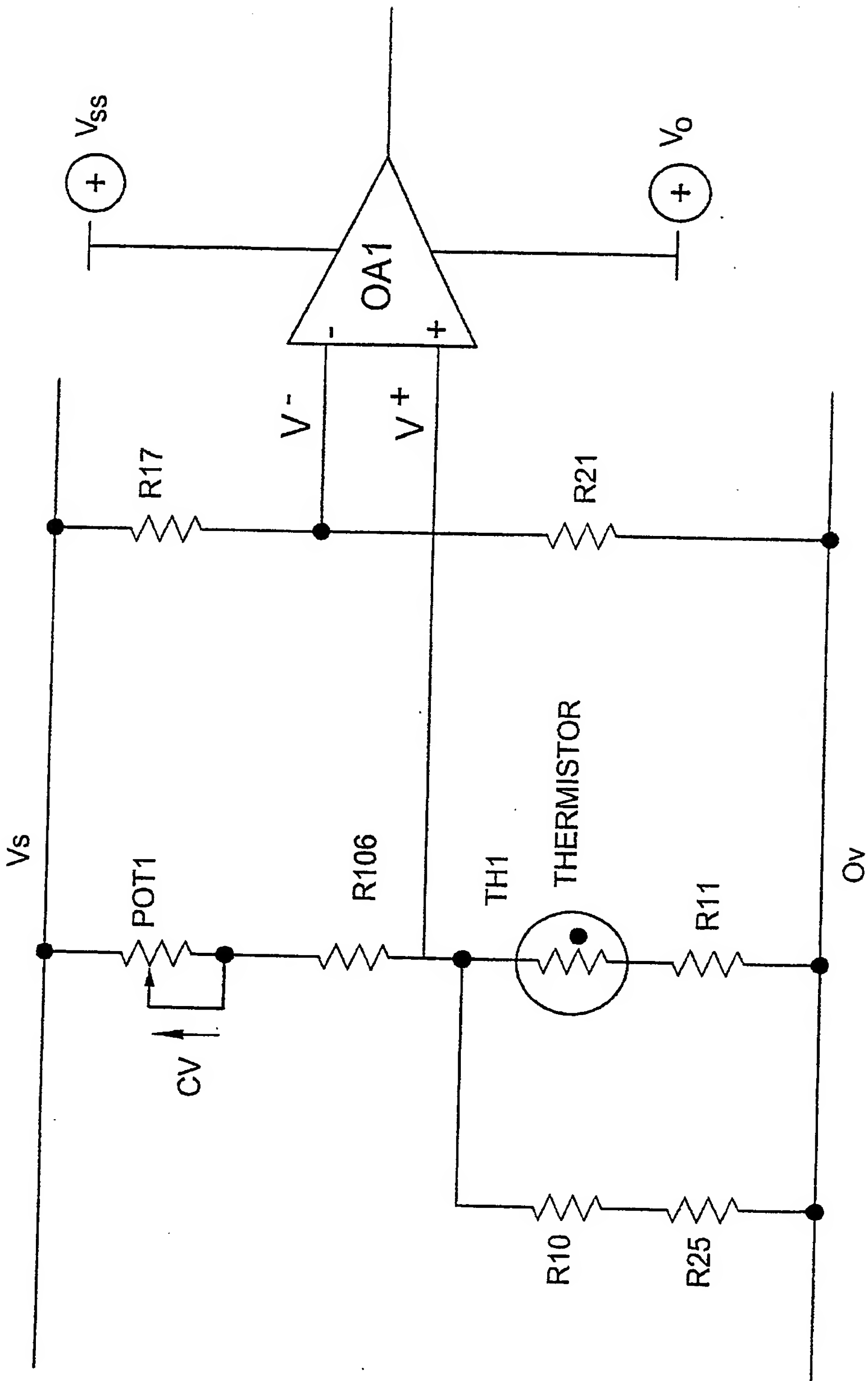


Fig. 23



23/31

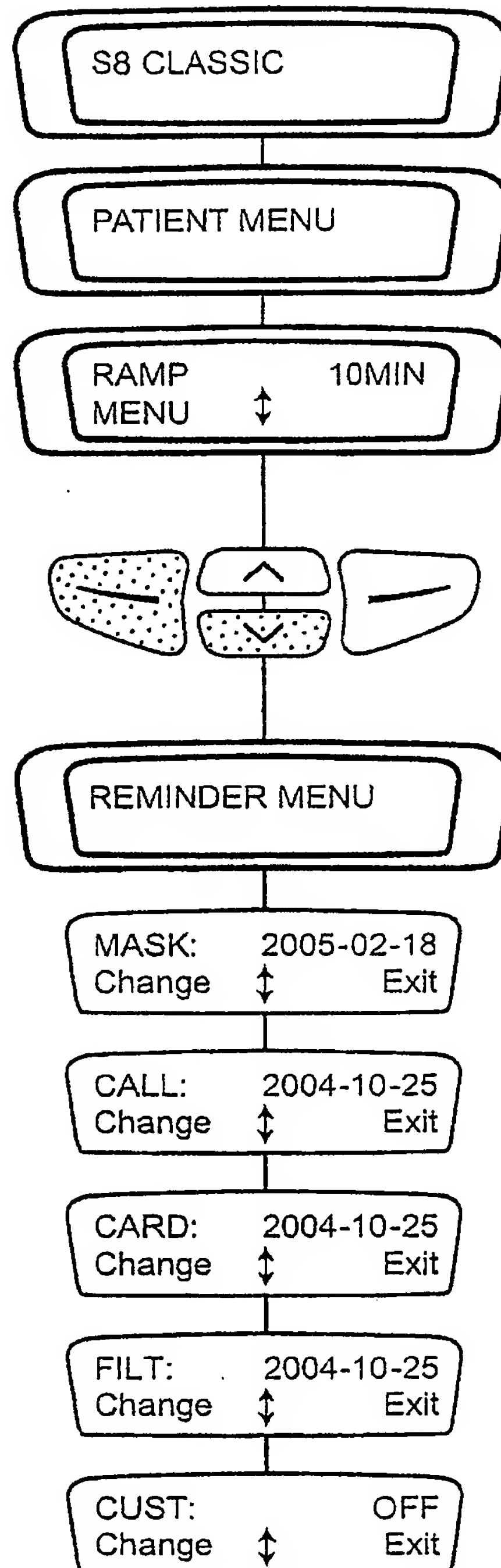


Fig. 24

24/31

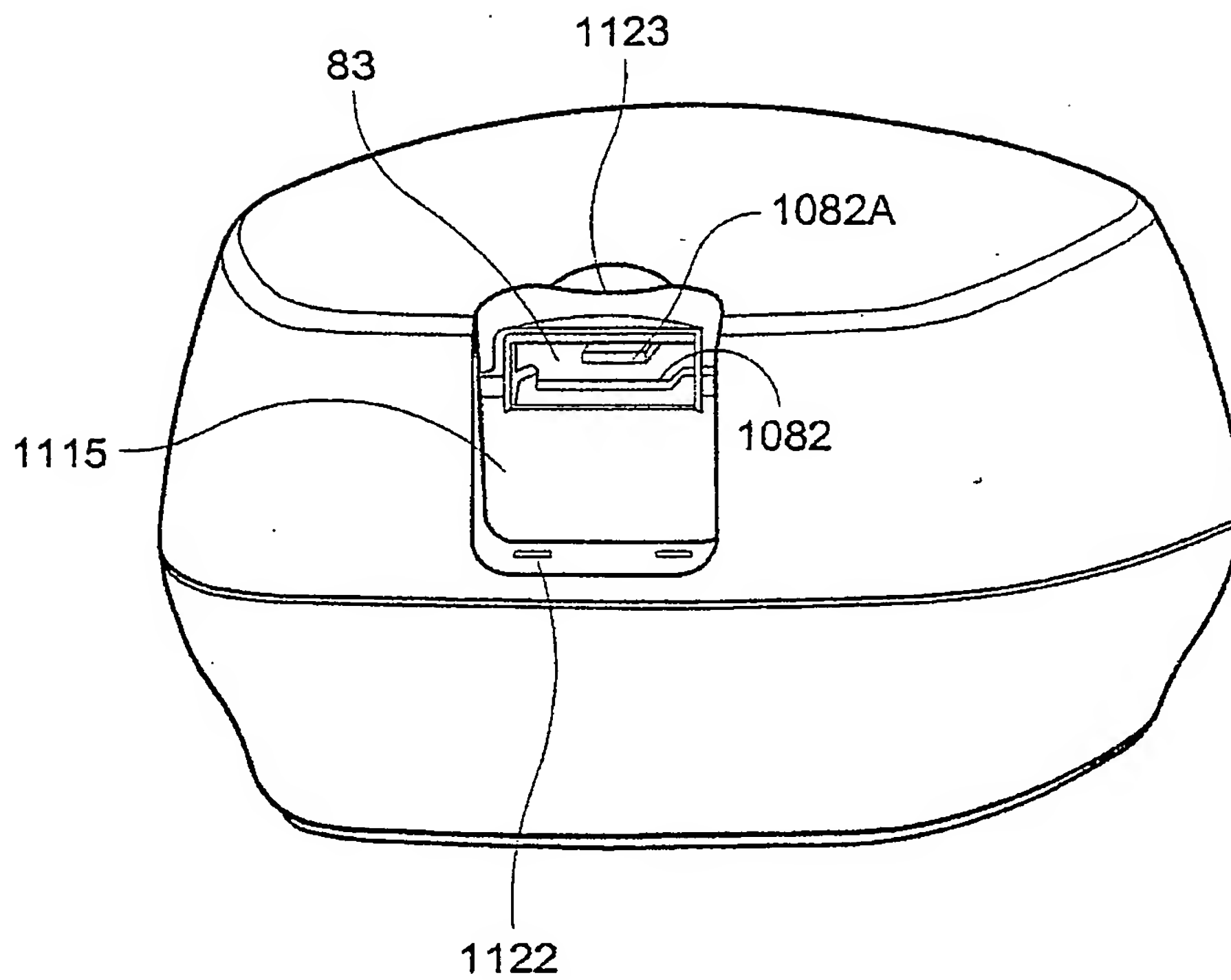


Fig. 25

25/31

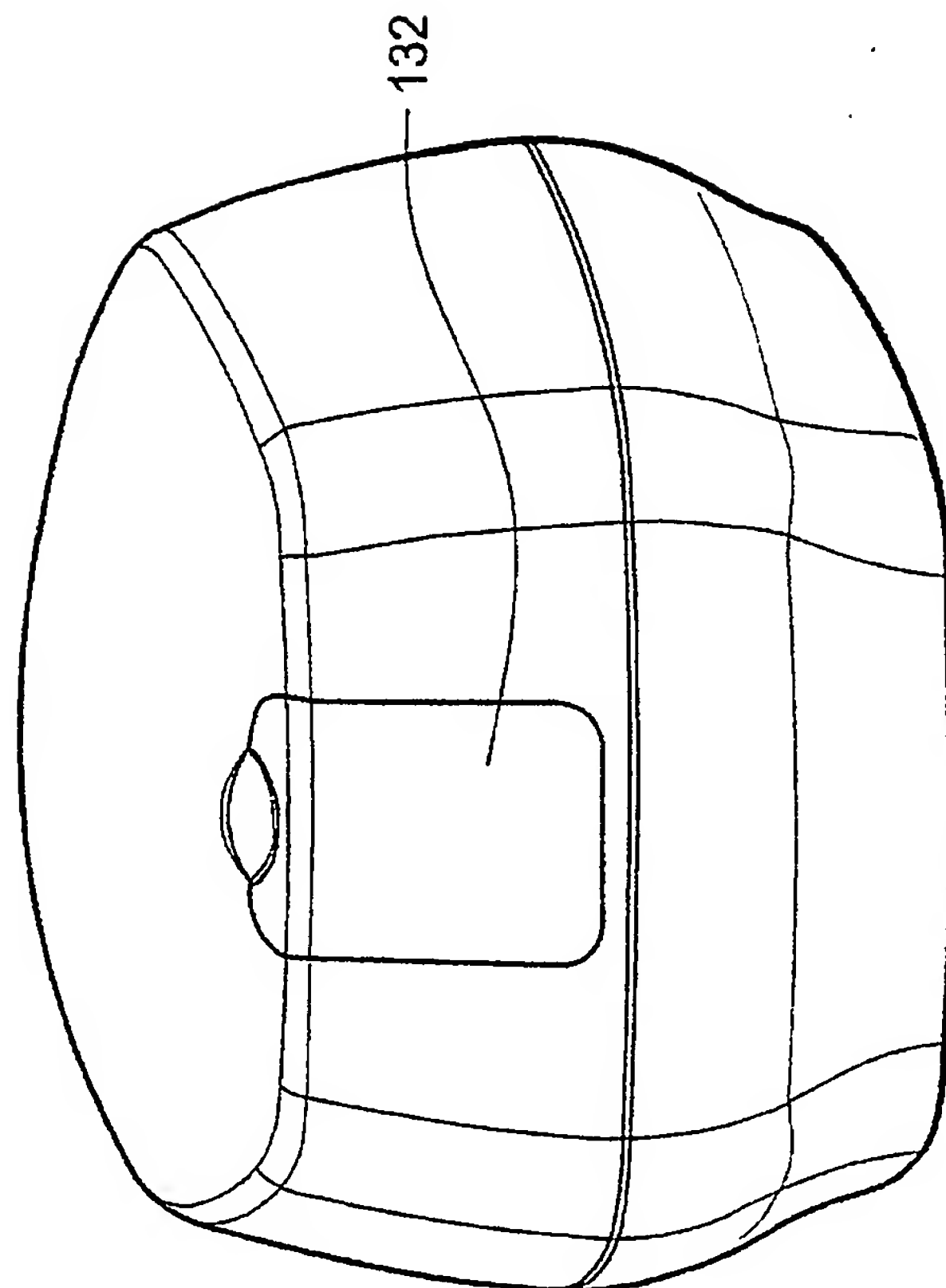


Fig. 26

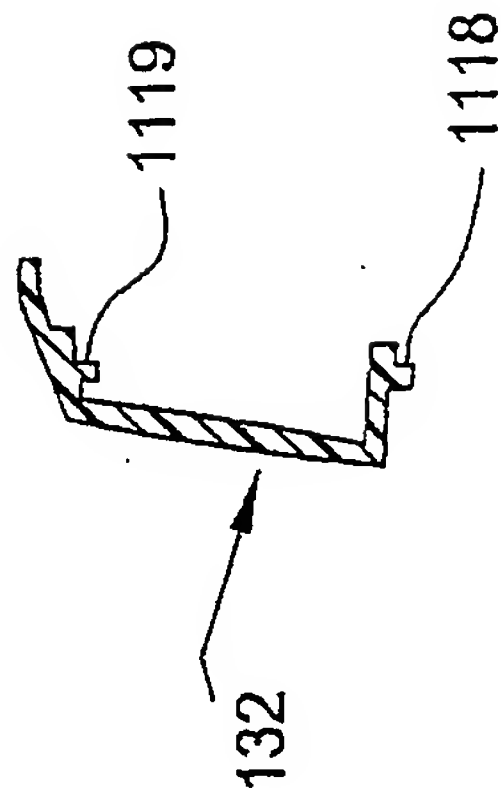


Fig. 27

26/31

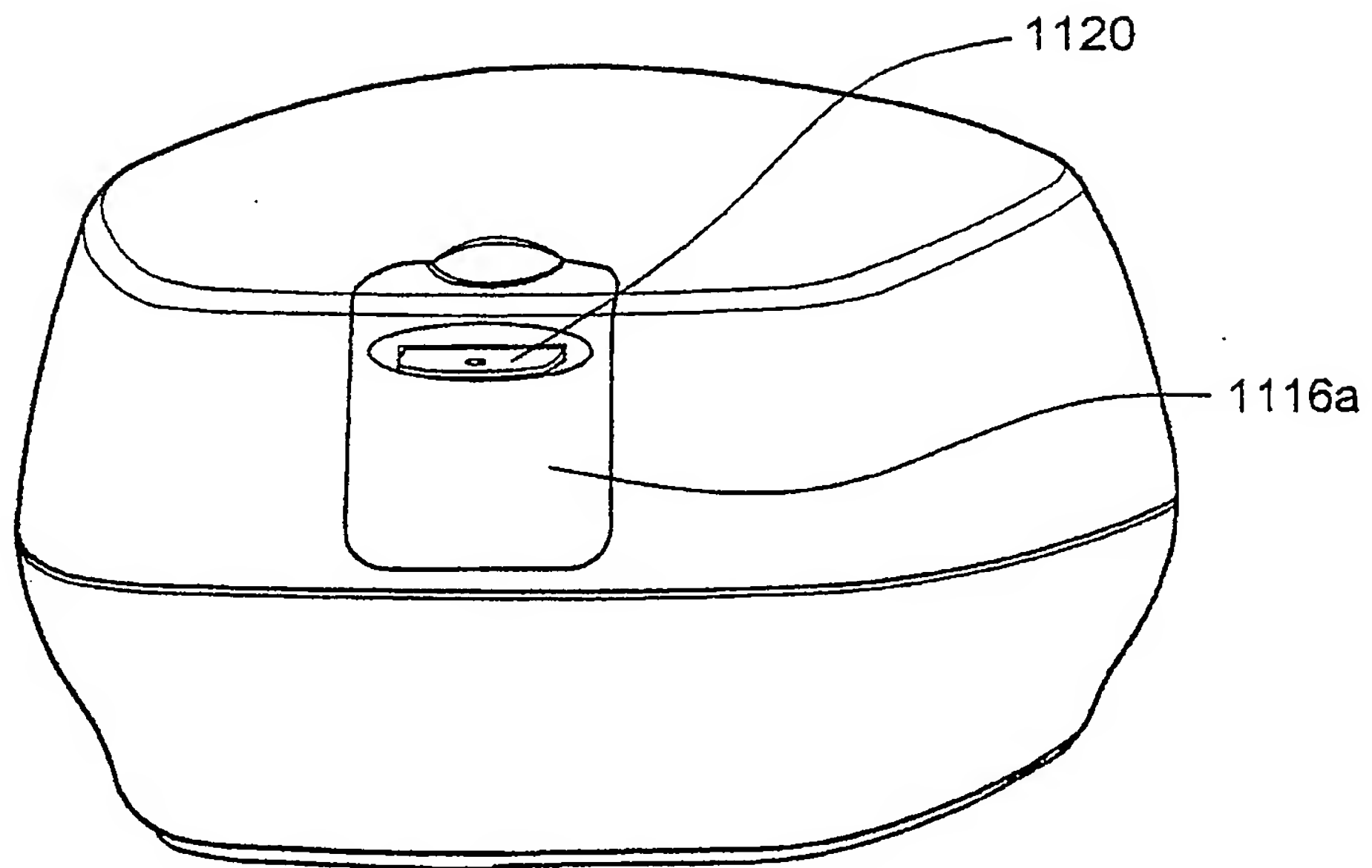


Fig. 28

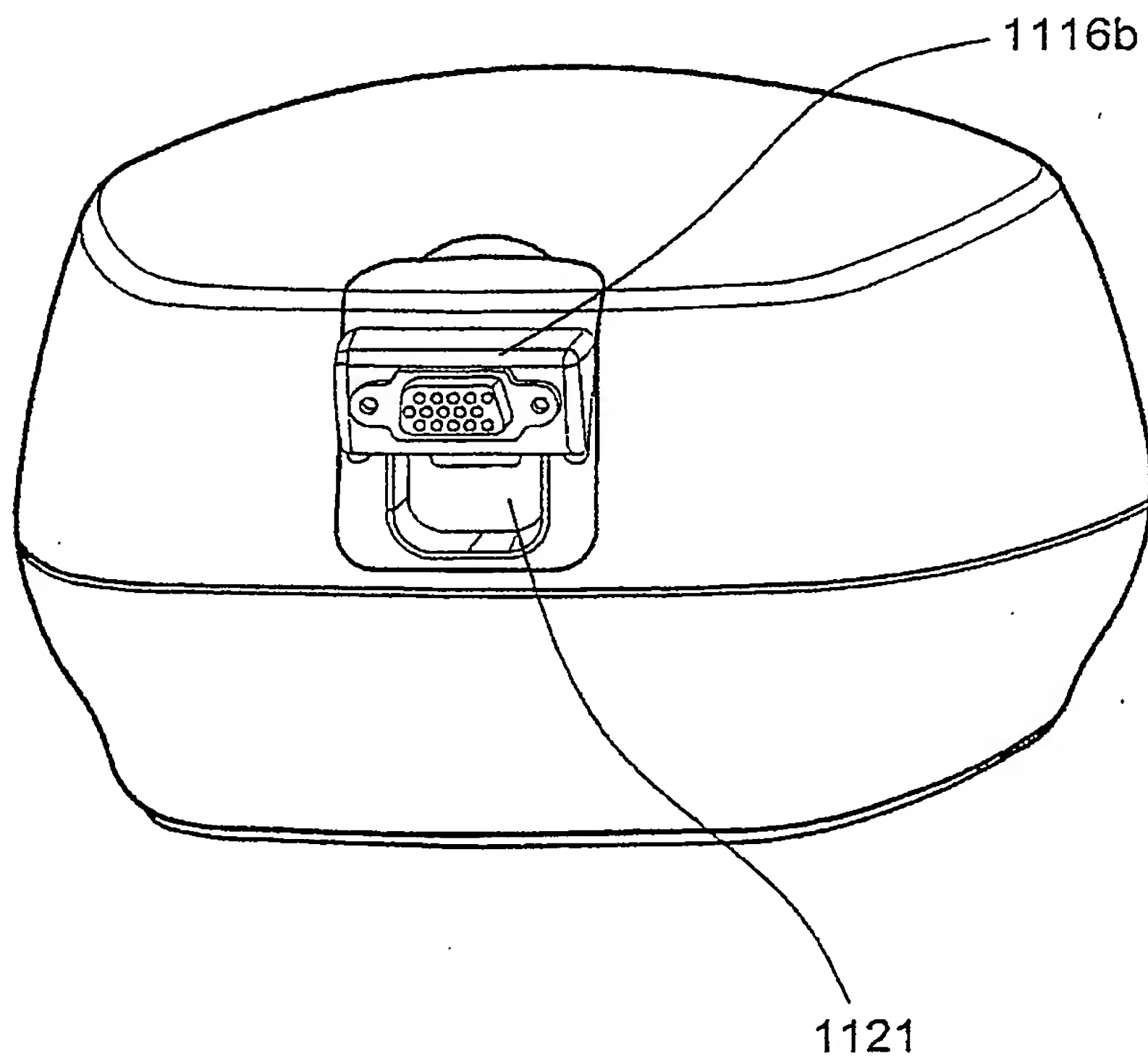


Fig. 29

27/31

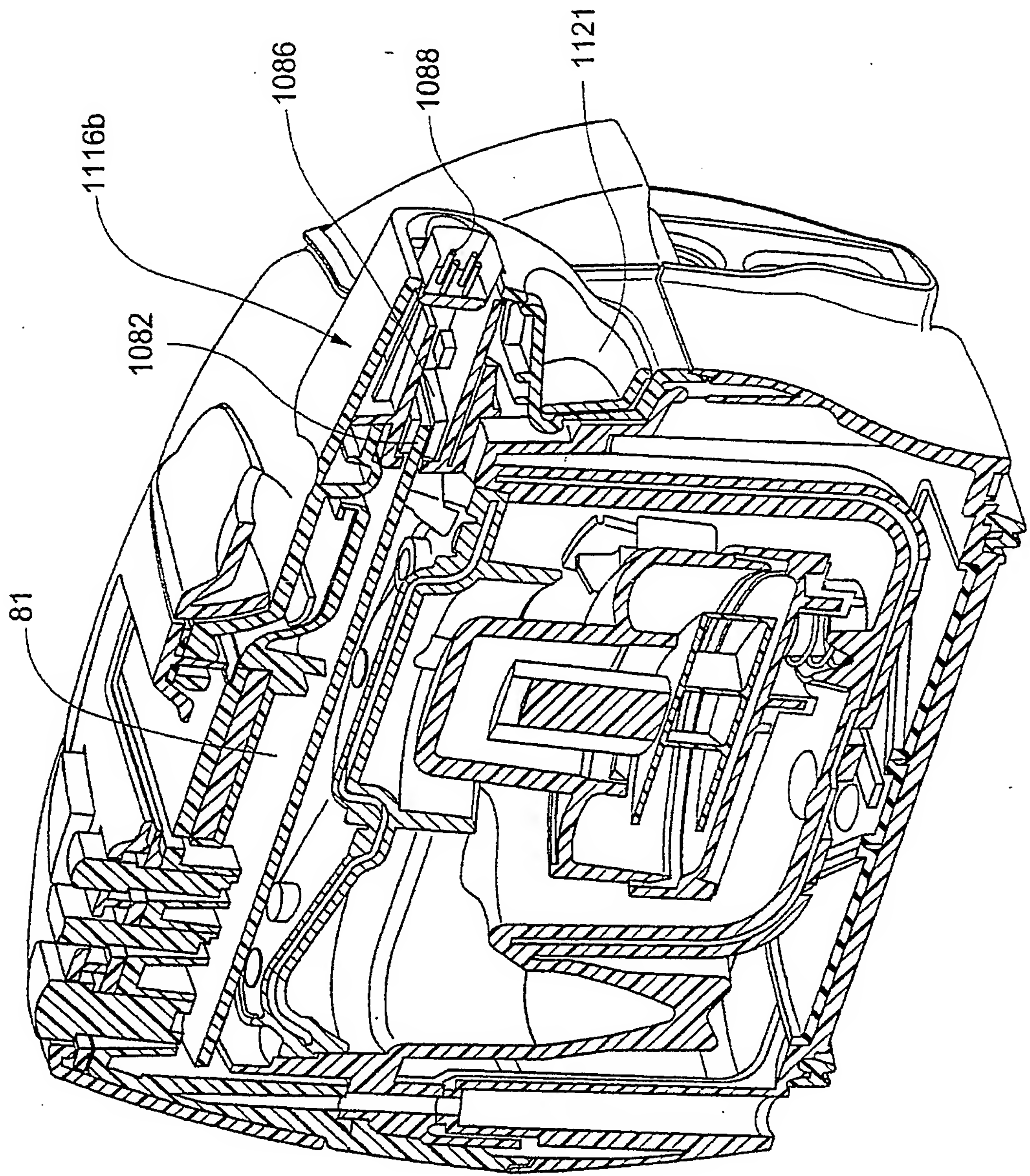


Fig. 29A

28/31

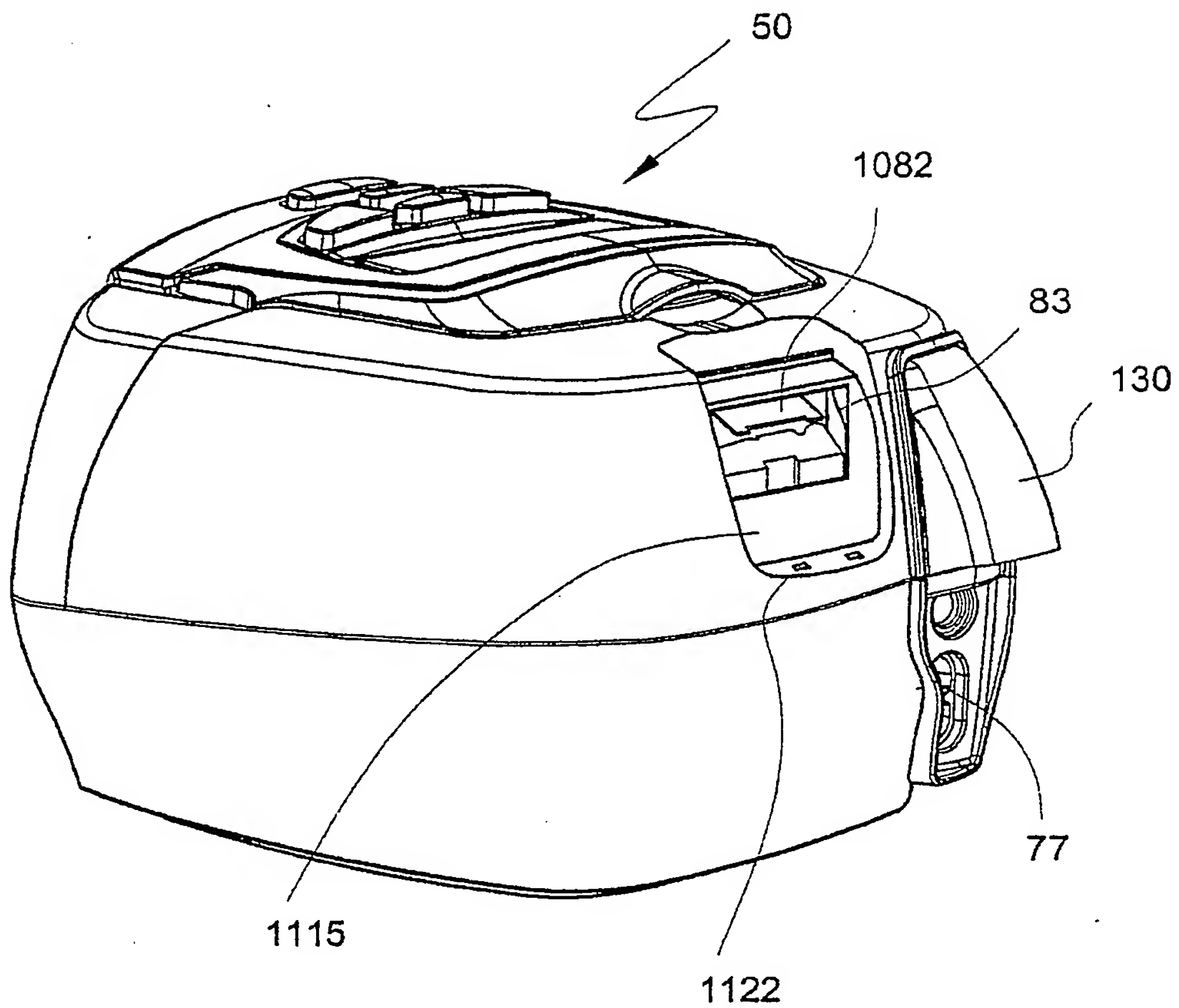


Fig. 30

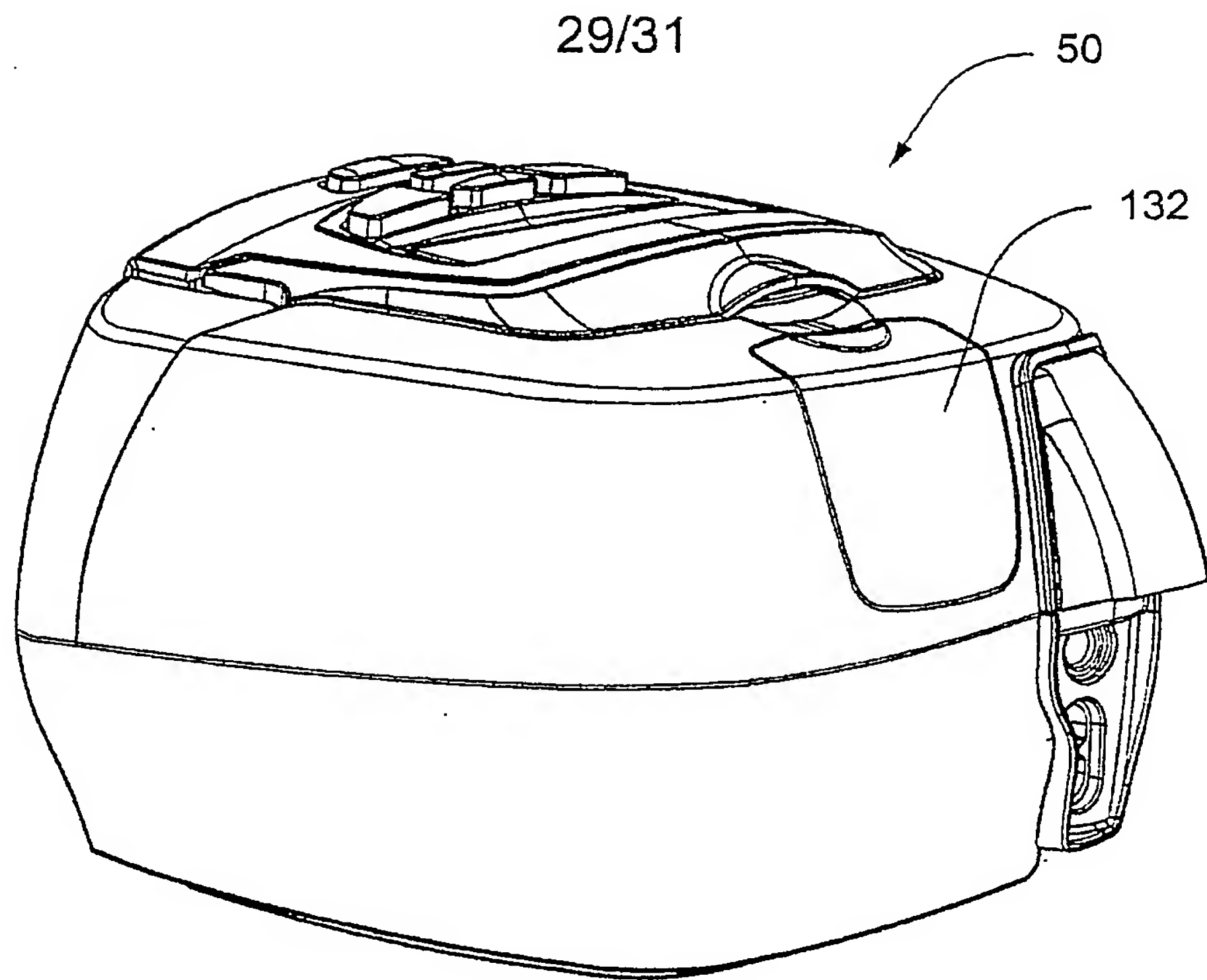


Fig. 31

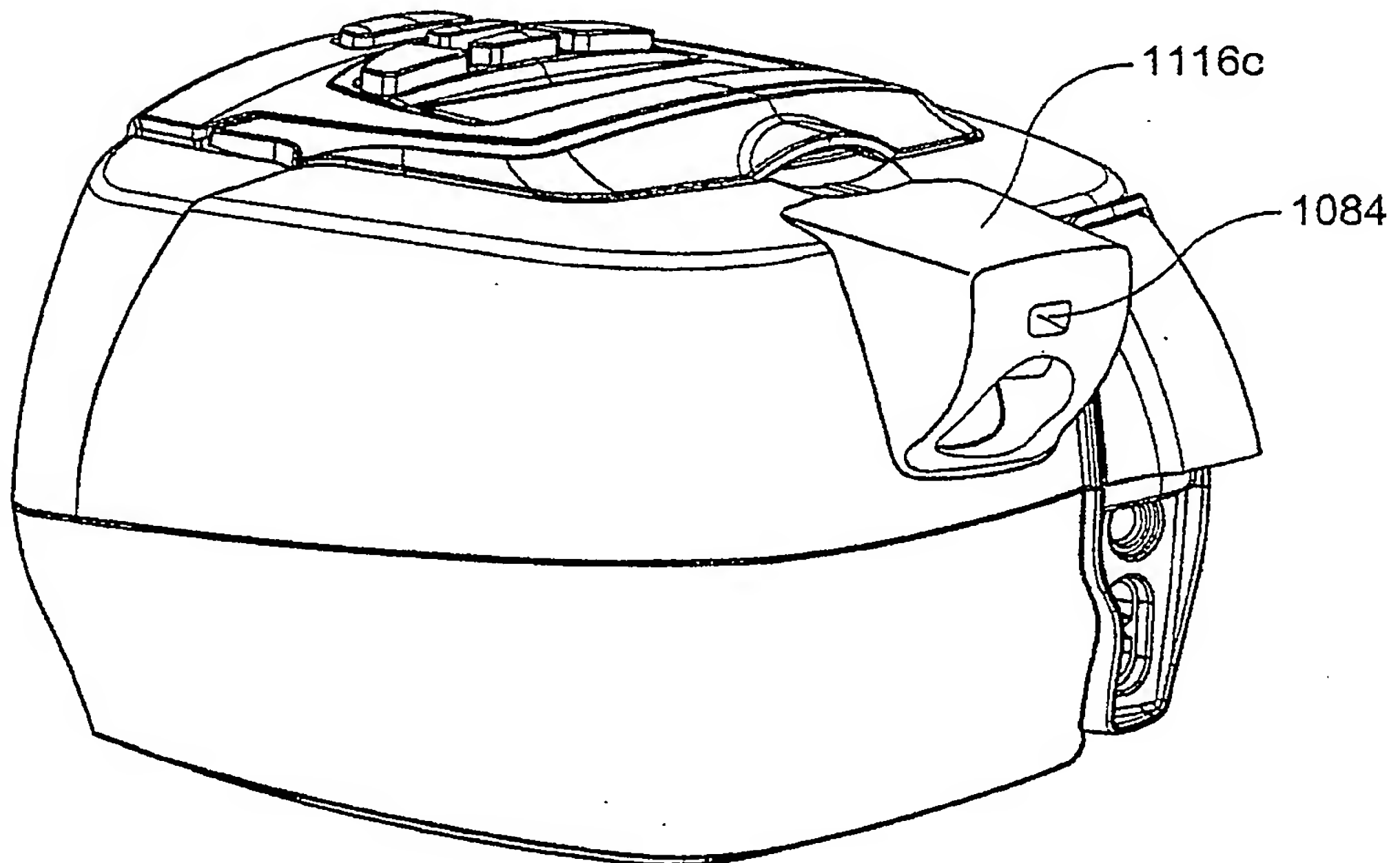


Fig. 32



30/31

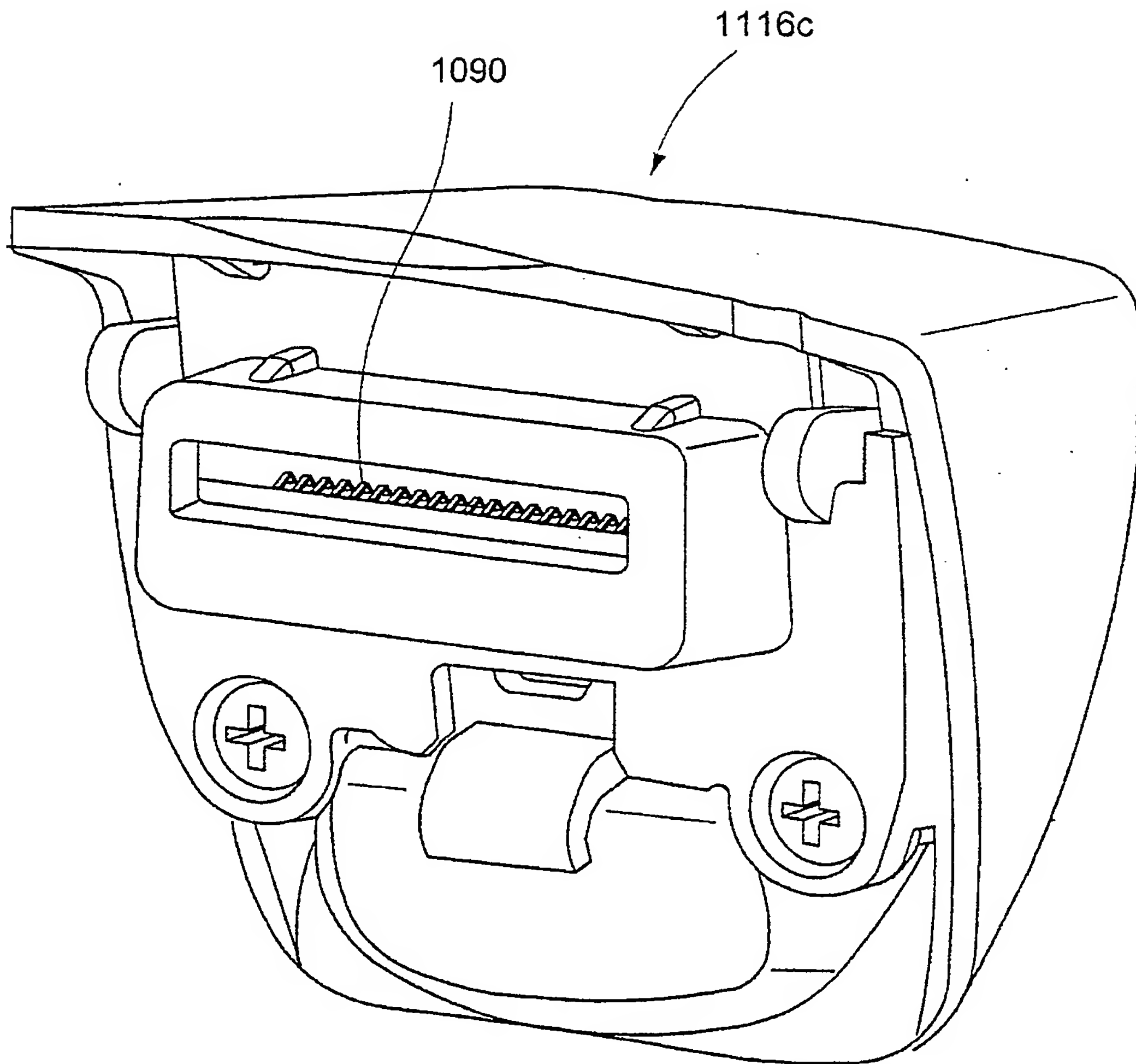


Fig. 33

31/31

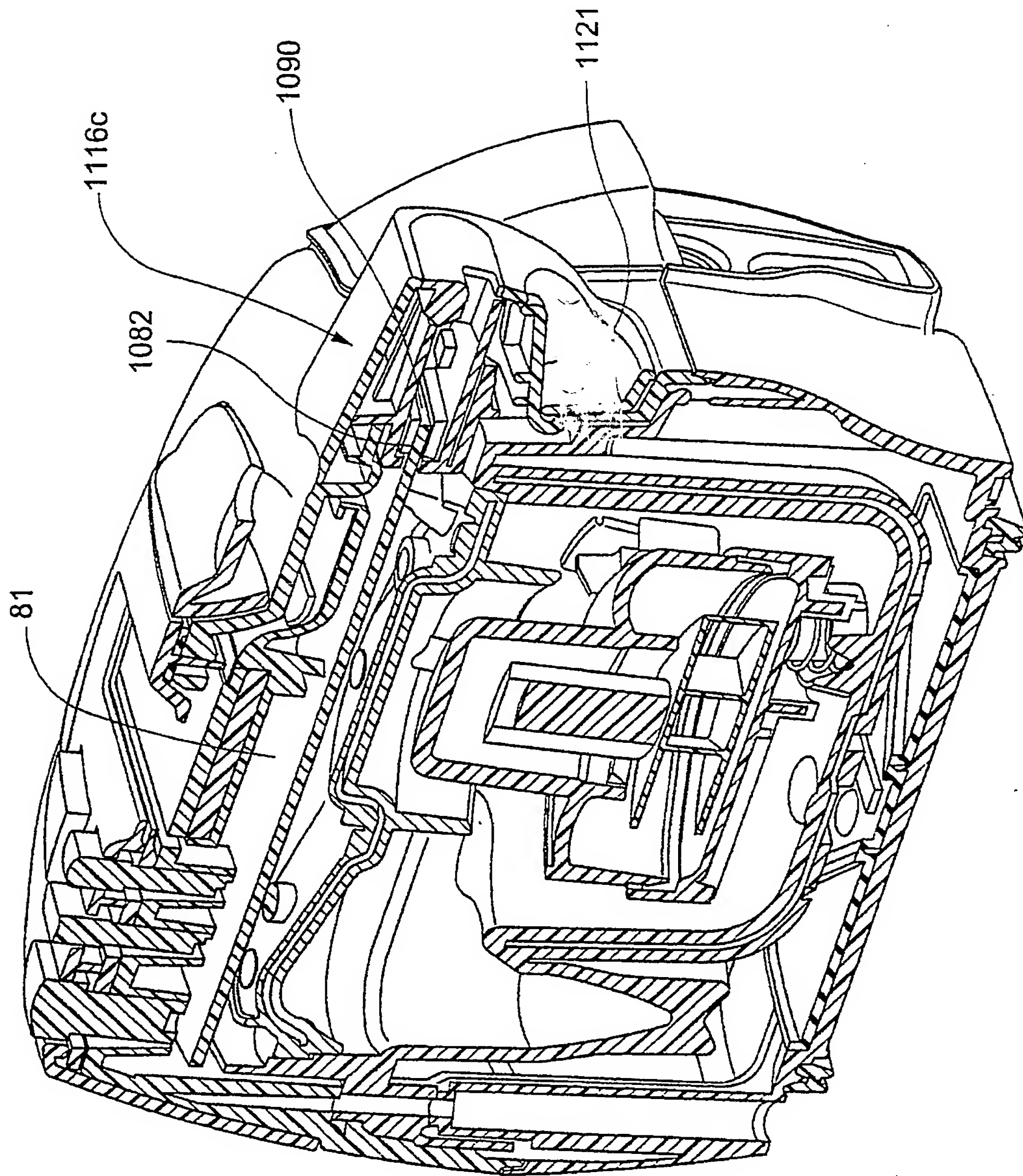


Fig. 34